



Chapter 4

Differential Amplifiers

中科大微电子学院

黄 鲁

教材：模拟CMOS集成电路设计

Behzad Razavi



4.1 single-ended and differential operation

- 单端信号：参考电位为一固定电位（fixed potential），通常为地。
- 差动信号：两个节点电位之差。该两节点直流电位相对某一固定电位（即共模电平）大小相等，**交变小信号**电压方向相反。并要求该两节点与固定电位（=交流地）节点的阻抗相等（电路对称）。

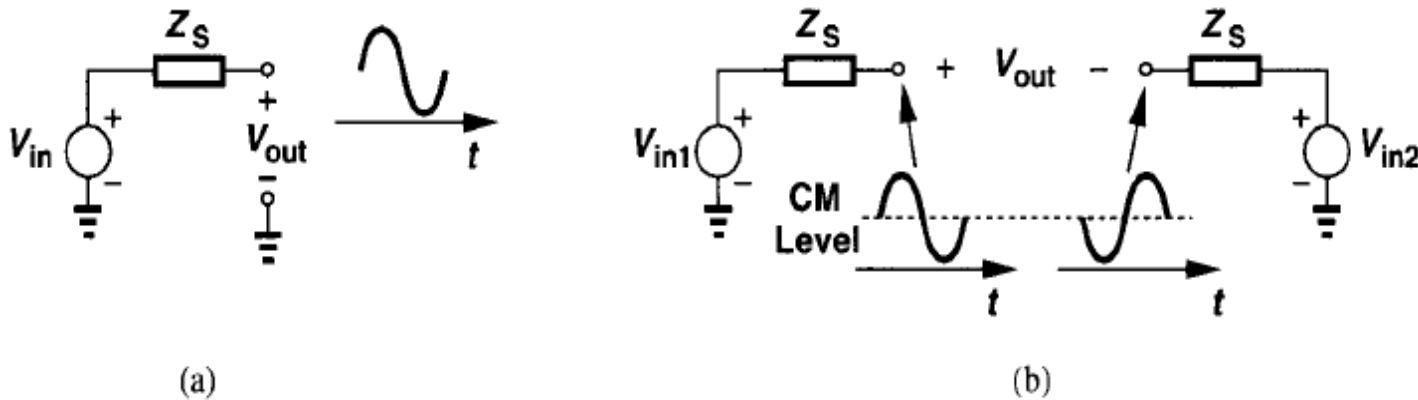
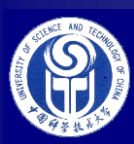


Figure 4.1 (a) Single-ended and (b) differential signals.



差动（或称差分）工作方式的优点

(1) 对共模噪声（外部环境电磁噪声，如电源和地噪声）的强抑制能力；

共模噪声：2输入端或输出端相同大小的噪声

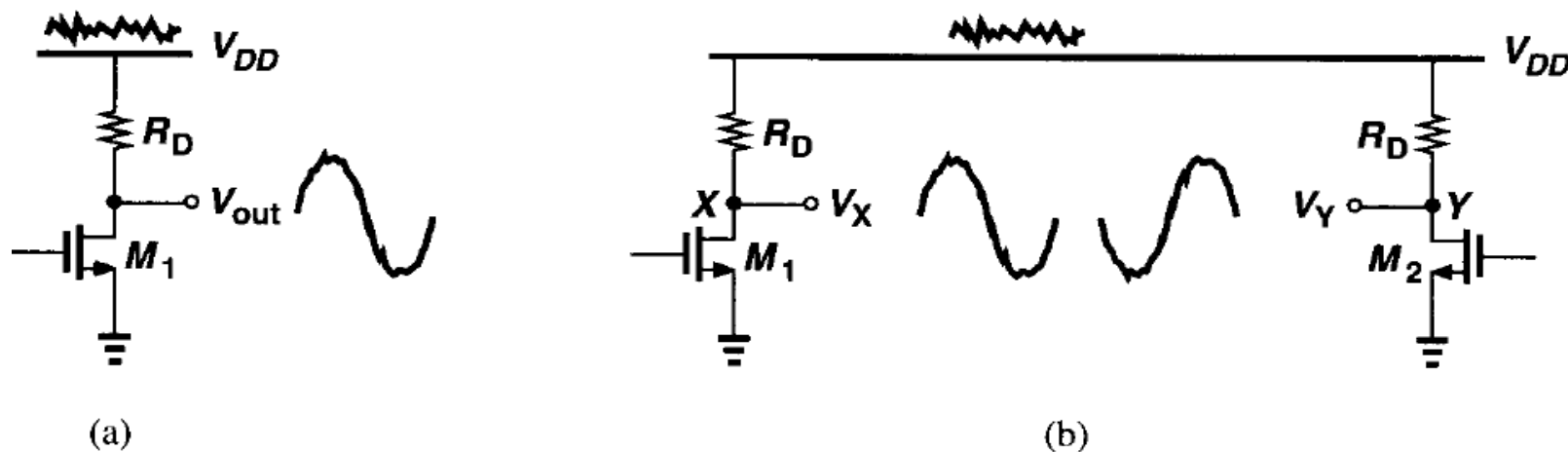


Figure 4.3 Effect of supply noise on (a) a single-ended circuit, (b) a differential circuit.

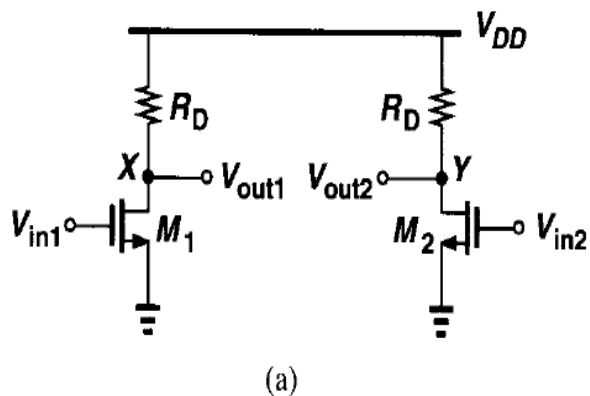
两单端放大器组成差动对

(2) $V_{out}=V_X-V_Y$,增大了输出电压摆幅

(3) 提高线性范围（差分）



两单端放大器组成差动对的缺点



输入共模电平影响输出摆幅。

共模CM电平：
2输入端或输出端的相同电平。

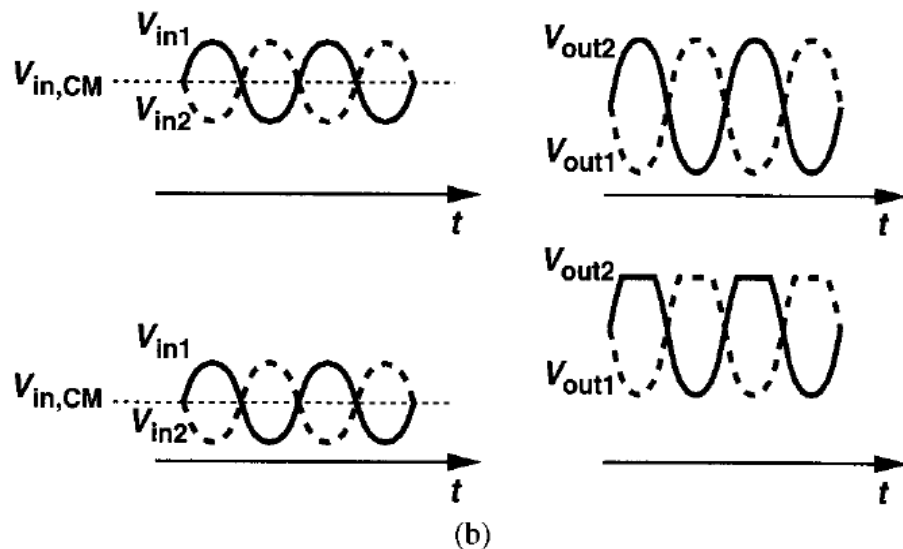
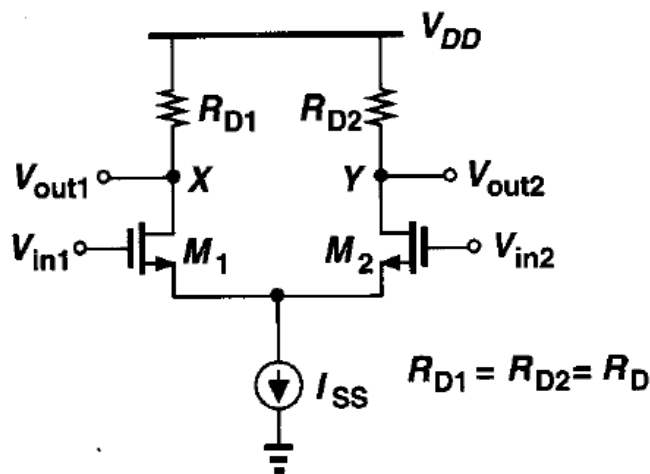


Figure 4.5 (a) Simple differential circuit, (b) illustration of sensitivity to the input common-mode level.



4.2 Basic Differential Pair



$$I_{SS} = I_{D1} + I_{D2} \text{ 不依赖 } V_{iCM}。$$

Figure 4.6 Basic differential pair.

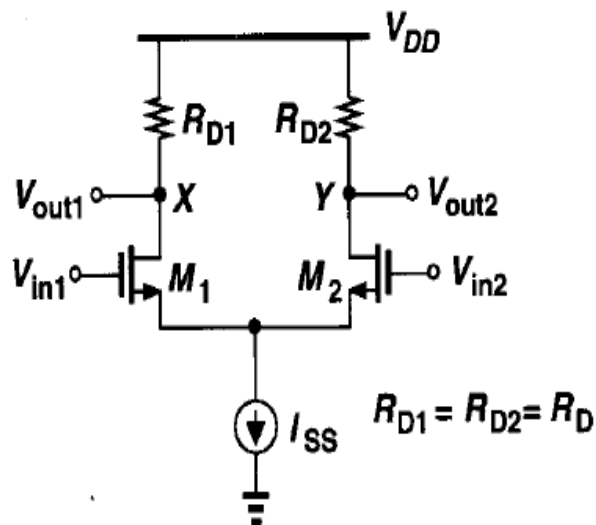
设M1、M2非截止区，尾电流源M3处于饱和区，

当 $V_{in1} = V_{in2}$ （大信号）时，

输出共模电平 $V_{oCM} = V_{DD} - R_D \cdot I_{SS} / 2$



4.2.1 Qualitative analysis



$$I_{SS} = I_{D1} + I_{D2}$$

当 $V_{in1} = V_{in2}$,
 $V_{out1} = V_{out2} = V_{DD} - R_D \cdot I_{SS} / 2$

- V_{in1} 电位很低时 $M1$ 截止, $I_{D2} = I_{SS}$,
 $V_{out1} = V_{DD}$, $V_{out2} = V_{DD} - R_D \cdot I_{SS}$,

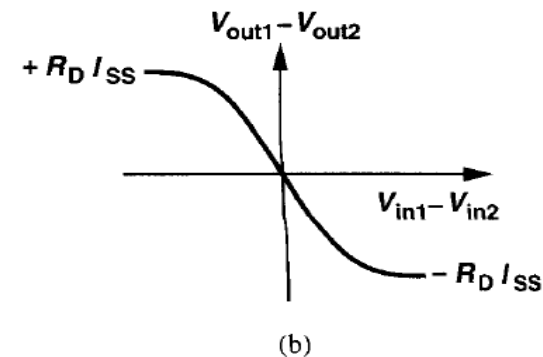
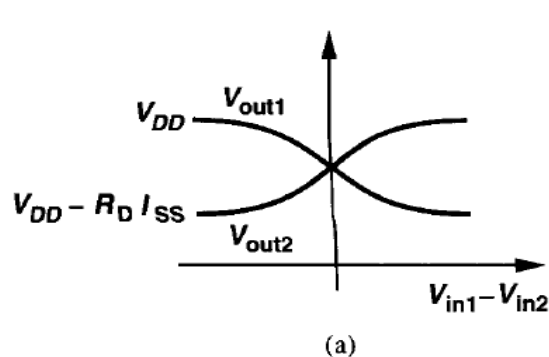


Figure 4.7 Input-output characteristics of a differential pair.

具有尾电流源的差动对重要特性:

- (1) 输出端的最大和最小电平是完全确定的 (V_{DD} 和 $V_{DD} - R_D \cdot I_{SS}$), 与共模输入电平无关 (尾电流源的作用), 前提: 负载不是电流源, 尾电流源在饱和区
- (2) 小信号增益当 $V_{in1} = V_{in2}$ 时 (平衡状态 equilibrium) 最大, 且随 $|V_{in1} - V_{in2}|$ 的增大而减小, 即有非线性



common-mode (CM) behavior

$$V_{in1}=V_{in2}=V_{inCM}, V_{out1}=V_{out2}$$

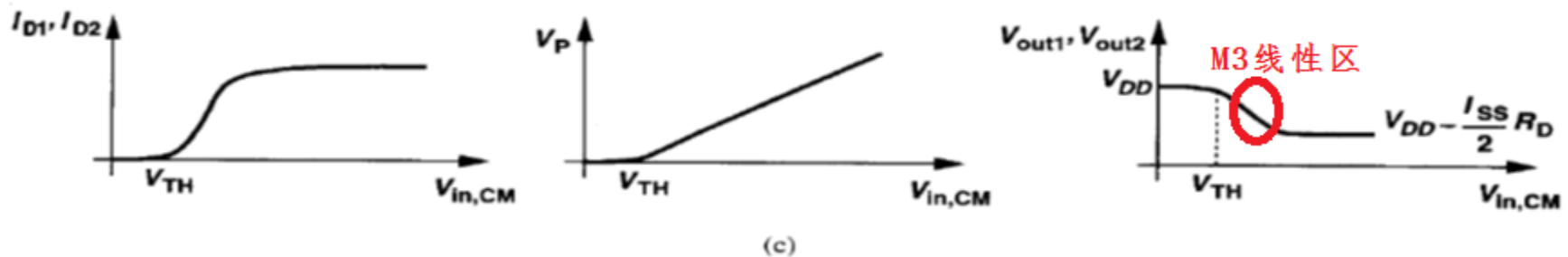
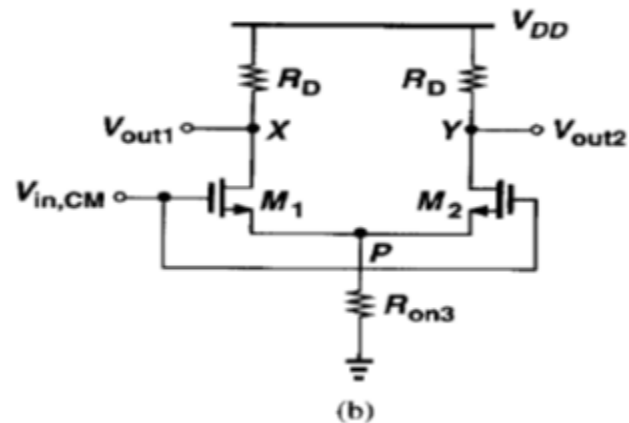
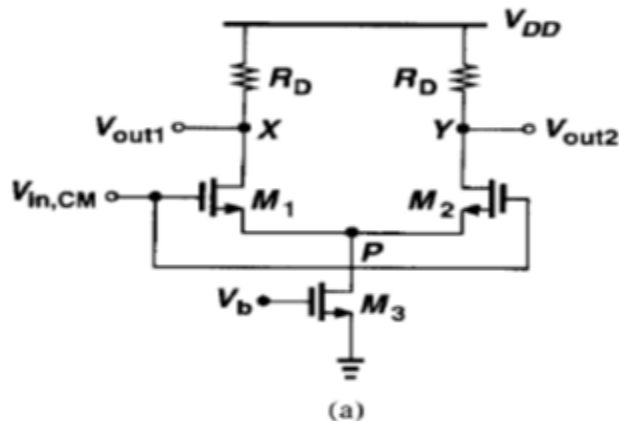


Figure 4.8 (a) Differential pair sensing an input common-mode change, (b) equivalent circuit if M_3 operates in deep triode region, (c) common-mode input-output characteristics.

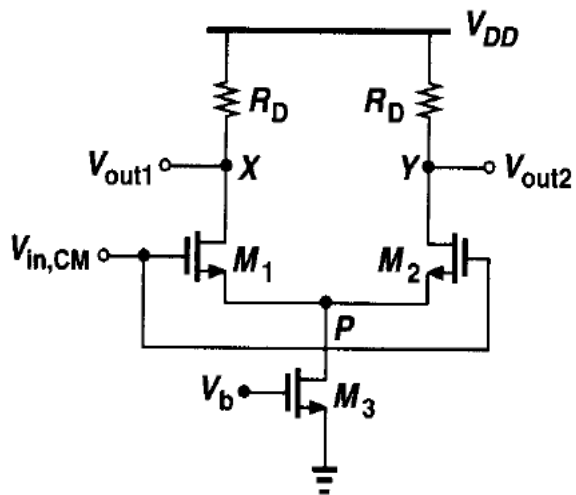
$$CM \text{ 输入范围: } V_{DD} - R_D I_{SS} / 2 + V_{TH1} \geq V_{in,CM} \geq V_{TH1} + V_{OD1} + (V_b - V_{TH3})$$

M1、M2饱和区

M3饱和区, V_{OD} :过驱动电压



共模增益：应很小



共模输入时，两边并联合并为带源极负反馈的共源级。

当沟道长度调制效应可忽略时：

$$A_{vCM} \text{ (或记 } A_{vc} \text{)} = \frac{\partial V_{out}}{\partial V_{inCM}} = \frac{-R_D / 2}{\frac{1}{2g_m} + R_S} = \frac{-g_m R_D}{1 + 2g_m r_o} \approx \frac{-R_D}{2r_o}$$

共模CM“变化信号”实为噪声：

地噪声、输入共模噪声、

电源噪声（下一级的输入共模噪声）、输入（温度）漂移，两端相同！



Output voltage swing of a differential pair

单端输出范围（RC上拉负载）：

$$V_{DD} > V_{oCM} > V_{in,CM} - V_{TH1}$$

$$V_{in,CM} \geq V_{GS1} + (V_{GS3} - V_{TH3})$$

较大的共模输入变化会扰乱偏置点、改变小信号增益，并限制输出电压摆幅。

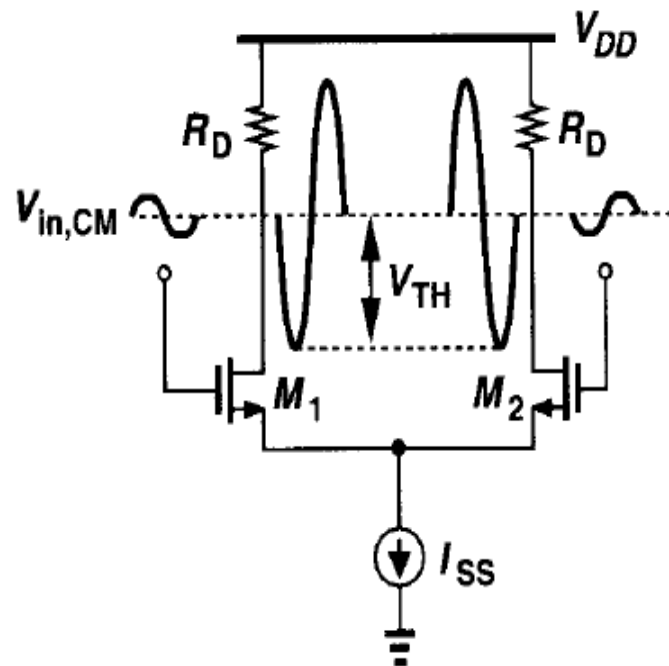


Figure 4.10 Maximum allowable output swings in a differential pair.



4.2.2 quantitative analysis

求：差动增益 A_{vd} (或记 A_v) =
$$\frac{\partial (V_{out1} - V_{out2})}{\partial (V_{in1} - V_{in2})}$$

定义差分电路跨导：
$$G_m = \frac{\partial (I_{D1} - I_{D2})}{\partial (V_{in1} - V_{in2})} = \frac{\partial \Delta I_D}{\partial \Delta V_{in}}$$

公式解析法：

$$\begin{aligned} \Delta V_{out} &= V_{out1} - V_{out2} = (V_{DD} - R_{D1}I_{D1}) - (V_{DD} - R_{D2}I_{D2}) \\ &= -R_D(I_{D1} - I_{D2}) = -R_D\Delta I_D \end{aligned}$$

$$\because V_P = V_{in1} - V_{GS1} = V_{in2} - V_{GS2} \therefore V_{in1} - V_{in2} = V_{GS1} - V_{GS2}$$

由 $I_D = \frac{1}{2} \mu_n C_{ox} \frac{W}{L} (V_{GS} - V_{TH})^2$ 得 $V_{GS} = \sqrt{\frac{2I_D}{\mu_n C_{ox} \frac{W}{L}}} + V_{TH}$

$$\therefore V_{in1} - V_{in2} = \sqrt{\frac{2I_{D1}}{\mu_n C_{ox} \frac{W}{L}}} - \sqrt{\frac{2I_{D2}}{\mu_n C_{ox} \frac{W}{L}}}, \text{ 式 (4.5)}$$

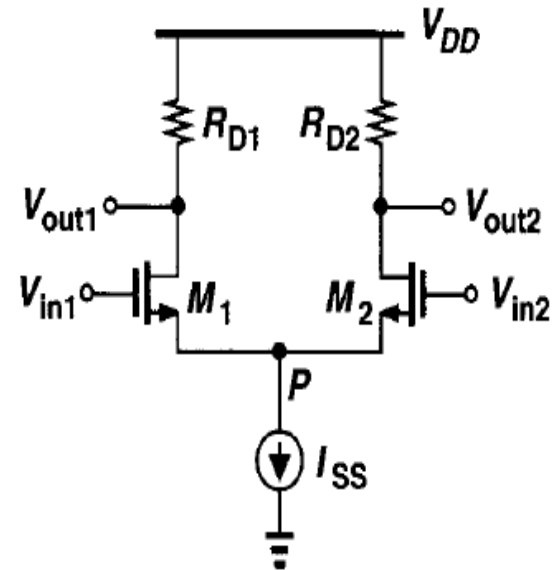


Figure 4.11 Differential pair.

$$R_{D1} = R_{D2} = R_D$$

设M1、M2工作在饱和区，
沟道长度调制效应可忽略



quantitative analysis (cont.)

以下利用 I_{SS} 计算 $I_{D1} - I_{D2}$

由 $I_{D1} + I_{D2} = I_{SS}$ 和公式 (4.5) 得 $(V_{in1} - V_{in2})^2 = \frac{2}{\mu_n C_{ox} \frac{W}{L}} (I_{SS} - 2\sqrt{I_{D1}I_{D2}})$

$$\rightarrow 2\sqrt{I_{D1}I_{D2}} = I_{SS} - \frac{1}{2} \mu_n C_{ox} \frac{W}{L} (V_{in1} - V_{in2})^2$$

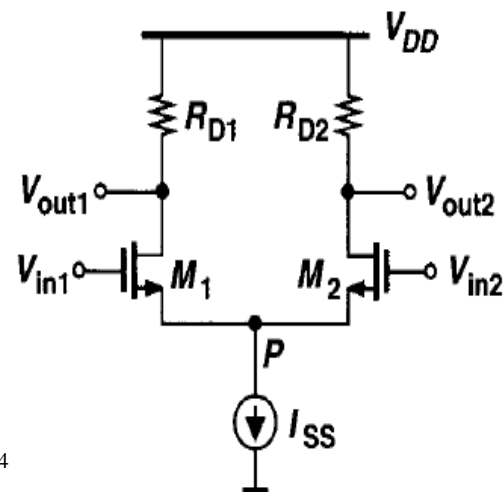
$$\rightarrow 4I_{D1}I_{D2} = I_{SS}^2 - I_{SS} \left(\mu_n C_{ox} \frac{W}{L} \right) (V_{in1} - V_{in2})^2 + \frac{1}{4} \left(\mu_n C_{ox} \frac{W}{L} \right)^2 (V_{in1} - V_{in2})^4$$

$$\text{又} \because 4I_{D1}I_{D2} = (I_{D1} + I_{D2})^2 - (I_{D1} - I_{D2})^2 = I_{SS}^2 - (I_{D1} - I_{D2})^2$$

$$\therefore (I_{D1} - I_{D2})^2 = I_{SS}^2 - 4I_{D1}I_{D2} = I_{SS} \mu_n C_{ox} \frac{W}{L} (V_{in1} - V_{in2})^2 - \frac{1}{4} \left(\mu_n C_{ox} \frac{W}{L} \right)^2 (V_{in1} - V_{in2})^4$$

$$= \frac{1}{4} \left[\mu_n C_{ox} \frac{W}{L} (V_{in1} - V_{in2}) \right]^2 \times \left[\frac{4I_{SS}}{\mu_n C_{ox} \frac{W}{L}} - (V_{in1} - V_{in2})^2 \right]$$

$$\therefore \Delta I_D = I_{D1} - I_{D2} = \frac{1}{2} \mu_n C_{ox} \frac{W}{L} (V_{in1} - V_{in2}) \sqrt{\frac{4I_{SS}}{\mu_n C_{ox} \frac{W}{L}} - (V_{in1} - V_{in2})^2} = \frac{1}{2} \mu_n C_{ox} \frac{W}{L} \Delta V_{in} \sqrt{\frac{4I_{SS}}{\mu_n C_{ox} \frac{W}{L}} - \Delta V_{in}^2} \text{式 (4.9)}$$



差分对VI 线性比
单管MOSFET好！



quantitative analysis (cont.)

$$G_m = \frac{\partial \Delta I_D}{\partial \Delta V_{in}} = \frac{1}{2} \mu_n C_{ox} \frac{W}{L} \left(\sqrt{\frac{4I_{SS}}{\mu_n C_{ox} \frac{W}{L}} - \Delta V_{in}^2} - \frac{\Delta V_{in}}{\sqrt{\frac{4I_{SS}}{\mu_n C_{ox} \frac{W}{L}} - \Delta V_{in}^2}} \right) = \frac{1}{2} \mu_n C_{ox} \frac{W}{L} \frac{\frac{4I_{SS}}{\mu_n C_{ox} \frac{W}{L}} - 2\Delta V_{in}^2}{\sqrt{\frac{4I_{SS}}{\mu_n C_{ox} \frac{W}{L}} - \Delta V_{in}^2}}$$

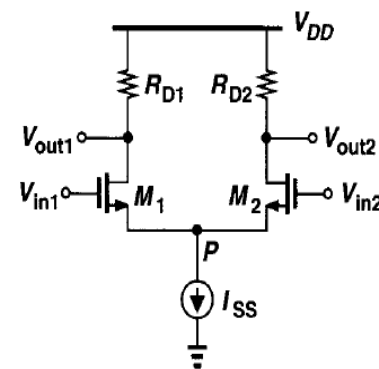
$\Delta V_{in} = 0$ 平衡状态时，达最大跨导（最大增益）： $G_m = \sqrt{\mu_n C_{ox} \frac{W}{L} I_{SS}} = g_m$

差动增益 $A_{vd} = \frac{\partial (V_{out1} - V_{out2})}{\partial (V_{in1} - V_{in2})} = -G_m R_D = -g_m R_D$ ，前提条件？

当全部 I_{SS} 流过其中一个 MOS 时，另一个 FET 截止。最大差模输入：

由式 (4.5) $\Delta V_{inMAX} = V_{in1} - V_{in2} = \sqrt{\frac{2I_{D1}}{\mu_n C_{ox} \frac{W}{L}}} - \sqrt{\frac{2I_{D2}}{\mu_n C_{ox} \frac{W}{L}}} = \sqrt{\frac{2I_{SS}}{\mu_n C_{ox} \frac{W}{L}}}$

问题：由式 (4.9) $\Delta V_{in} = \sqrt{\frac{4I_{SS}}{\mu_n C_{ox} \frac{W}{L}}}$ 时， $\Delta I_D = 0$ 对吗？



推论：若输入管 W/L 小或尾电流源 I_{SS} 大，则差动输入变化范围可以较大



Transconductance of differential pair

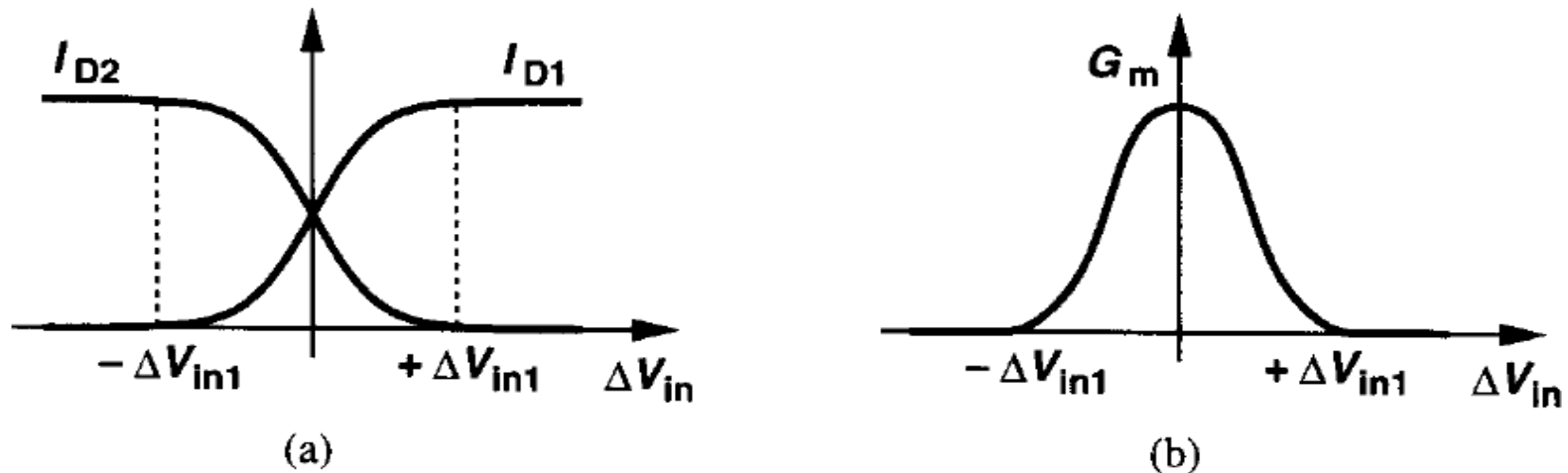
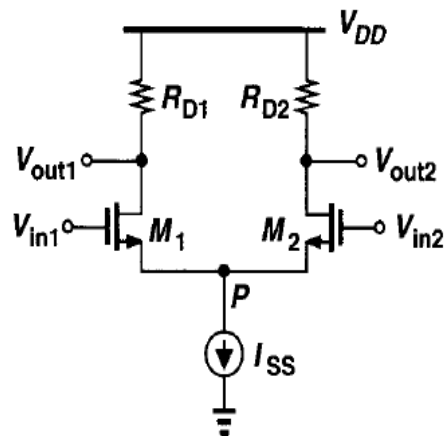


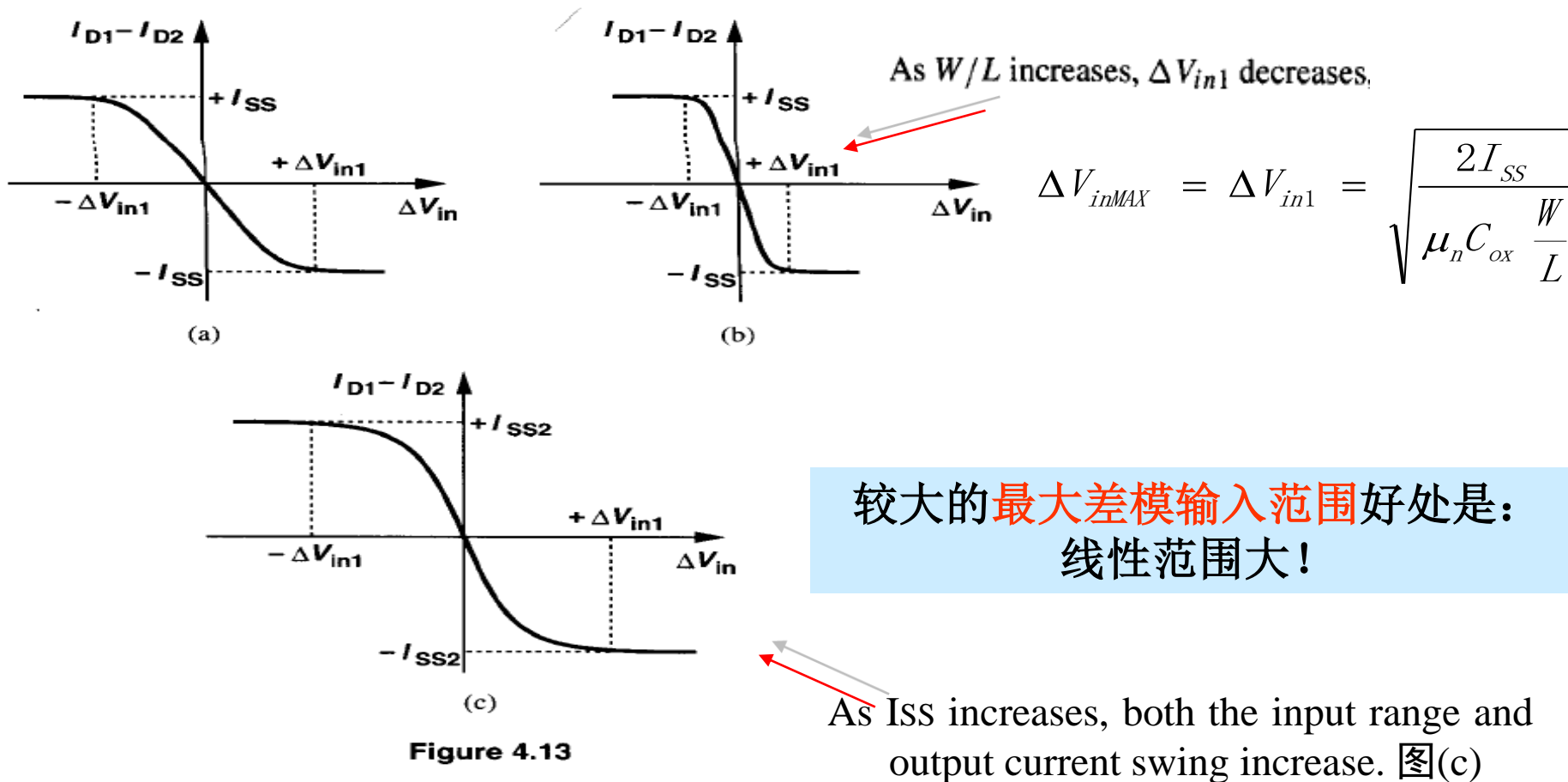
Figure 4.12 Variation of drain currents and overall transconductance of a differential pair versus input voltage.





Example 4.2

- Plot the input-output characteristic of a differential pair as the device width and the tail current vary.





Small-signal behavior of differential pairs

- Method 1: superposition (叠加法)

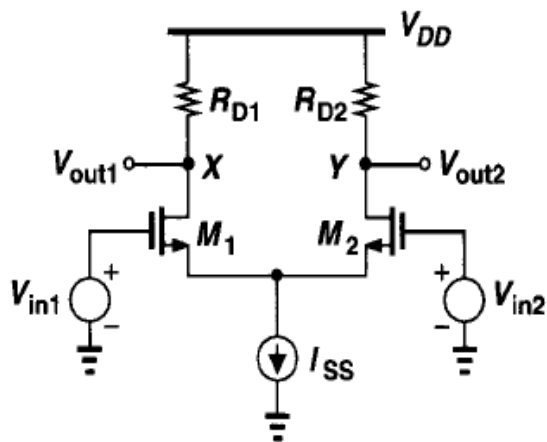


Figure 4.14 Differential pair with small-signal inputs.

$$\text{由 } I_{D2} = \frac{1}{2} \mu_n C_{ox} \frac{W}{L} (V_{GS2} - V_{TH})^2 \quad \text{忽略 } \lambda \text{ 和 } \gamma$$

$$R_s = \frac{\partial V_s / \partial I_s}{\partial I_s / \partial V_s} = \frac{1}{-\partial I_{D2} / \partial V_{GS2}} = \frac{1}{g_{m2}}$$

$$\text{由式 (3.57)} \quad \frac{V_{X1}}{V_{in1}} = - \frac{R_D}{\frac{1}{g_{m1}} + \frac{1}{g_{m2}}}$$

计算 V_X

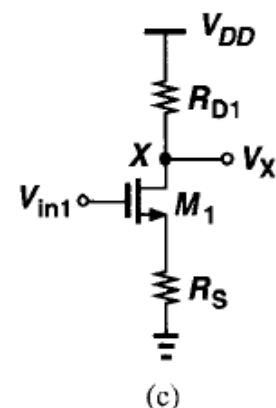
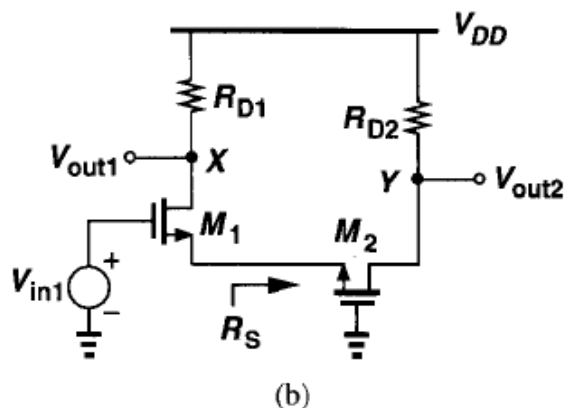
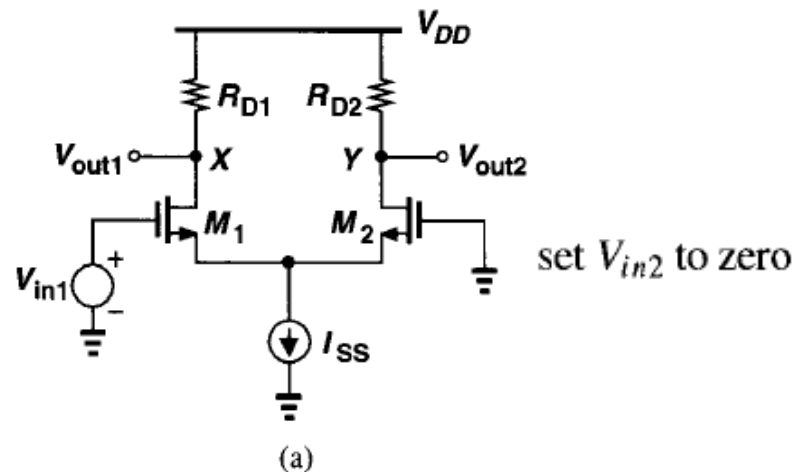
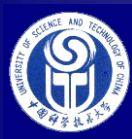
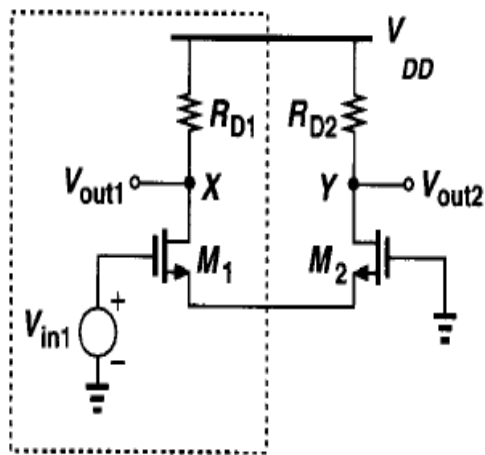


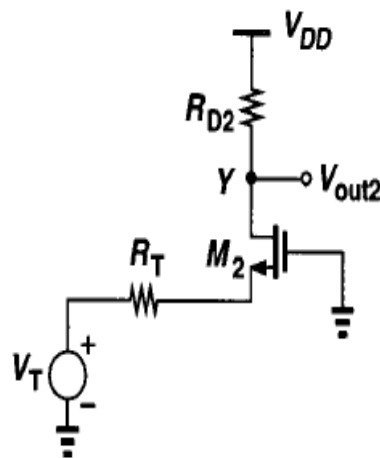
Figure 4.15 (a) Differential pair sensing one input signal, (b) circuit of (a) viewed as a CS stage degenerated by M_2 , (c) equivalent circuit of (b).



Set V_{in2} to zero: 计算 V_Y

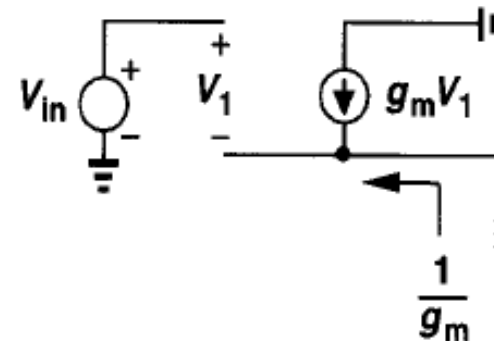


(a)



(b)

Figure 4.16 Replacing M_1 by a Thevenin equivalent.



$$\text{令 } V_{in1} = 0$$

$$R_T = \frac{-V_1}{-g_{m1}V_1} = \frac{1}{g_{m1}}$$

$$\text{开路电压: } V_T = I_{SC} * R_T = V_{in1}$$

$$\text{小信号 } \frac{V_{Y1}}{V_{in1}} = \frac{R_D}{\frac{1}{g_{m1}} + \frac{1}{g_{m2}}}$$

$$\text{设 } V_{in2} = 0, \quad g_{m1} = g_{m2} = g_m, \quad \text{则 } V_{X1} - V_{Y1} = 2 \frac{-R_D}{\frac{1}{g_{m1}} + \frac{1}{g_{m2}}} V_{in1} = -g_m R_D V_{in1}$$

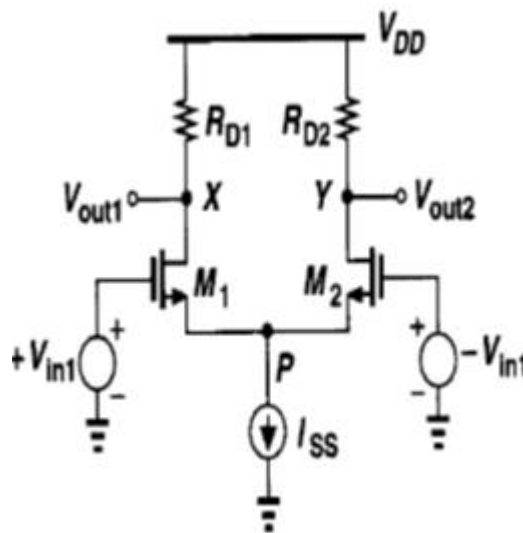


Superposition叠加法

Set V_{in1} to zero, 同理得: $V_{X2} - V_{Y2} = g_m R_D V_{in2} = -g_m R_D V_{in1}$

$$\text{差动增益: } A_{vd} = \frac{V_X - V_Y}{V_{in1} - V_{in2}} = \frac{(V_{X1} + V_{X2}) - (V_{Y1} + V_{Y2})}{2V_{in1}} = -g_m R_D$$

- 单边输出，增益减半。





差分对与共源级的比较

- 设总偏置**电流相同**，为 I_{SS} .
- 平衡状态下，差分对中**单管**M1 (M2) 偏置电流 $I_{D1}=I_{SS}/2$
- 差分对 $g_m = \sqrt{2\mu_n C_{ox} \frac{W}{L} I_{D1}} = \sqrt{2\mu_n C_{ox} \frac{W}{L} \frac{I_{SS}}{2}}$
 - 差分对增益为单管共源级放大器的 $1/\sqrt{2}$



Method 2: concept of half circuit

- 对称电路的“虚地”点概念。

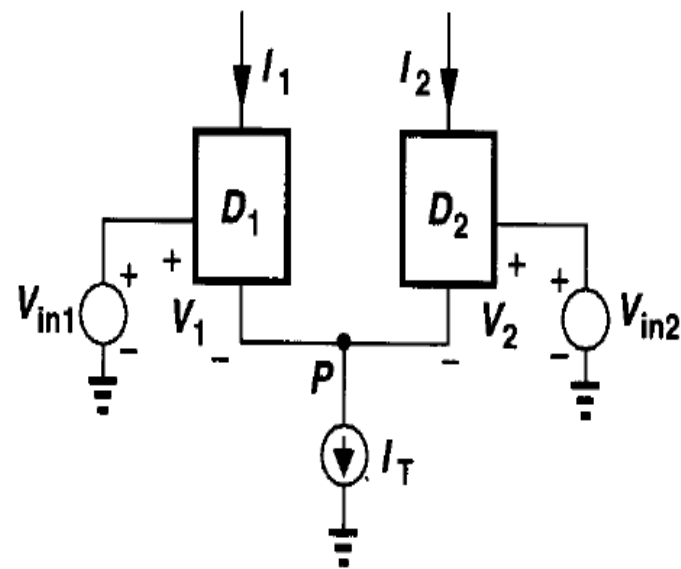
- 设差分输入：

$$V_{in1} = V_{CM} + \Delta V$$

$$V_{in2} = V_{CM} - \Delta V$$

- V_{CM} 共模输入电压
- 如果电路保持线性，保证2个管 g_m 相同

$$g_m \Delta V_1 + g_m \Delta V_2 = 0$$



$$\Delta V_1 = -\Delta V_2$$

- 则P点电位不变, 交流虚地！

适合幅度变化小的信号！



半边电路概念的应用

- 半边电路概念适合分析全差动输入的对称差动对。

$$\text{小信号 } \frac{V_X}{V_{in1}} = -g_m R_D$$

$$\frac{V_Y}{V_{in2}} = \frac{V_Y}{-V_{in1}} = -g_m R_D$$

$$\text{差动增益 } A_v = \frac{V_X - V_Y}{V_{in1} - V_{in2}} = \frac{V_X - V_Y}{2V_{in1}} = -g_m R_D$$

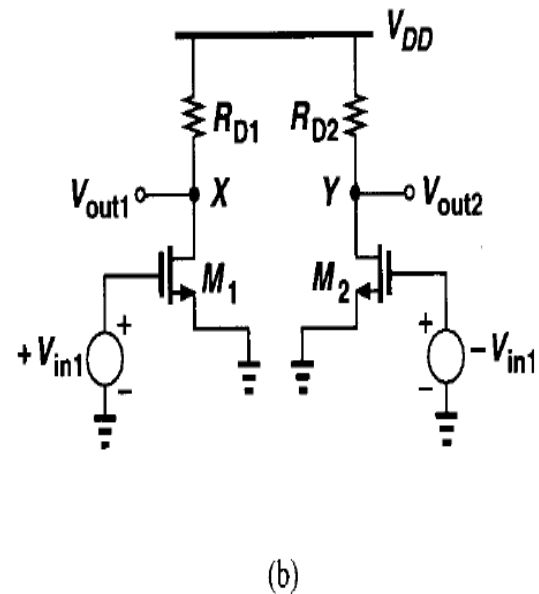
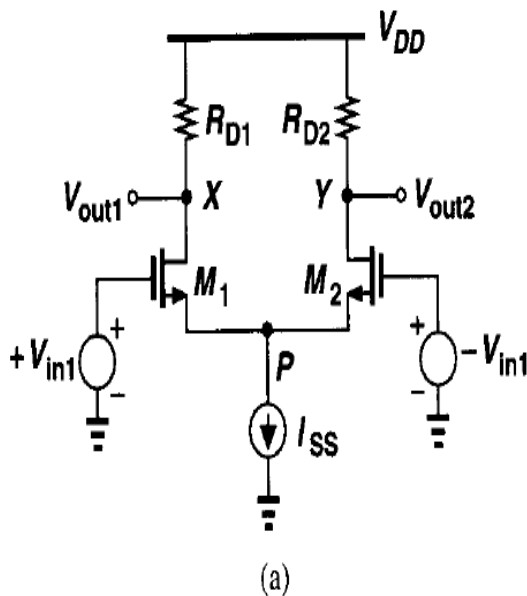


Figure 4.20 Application of the half-circuit concept.

半边电路计算简单（全差分结构、输入信号变化幅度小）



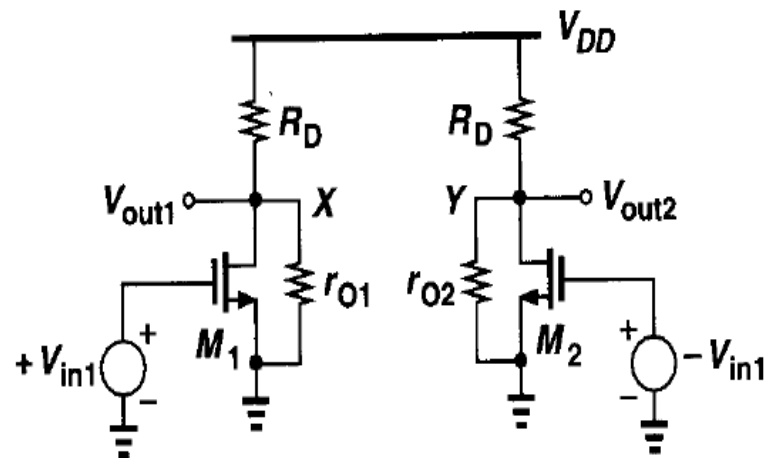
Example 4.4 计算差动增益

设 $r_{o1} = r_{o2} = r_o$

$$\frac{V_X}{V_{in1}} = -g_m(R_D \parallel r_o)$$

$$\frac{V_Y}{V_{in2}} = \frac{V_Y}{-V_{in1}} = -g_m(R_D \parallel r_o)$$

$$A_{vd} = \frac{V_X - V_Y}{V_{in1} - V_{in2}} = \frac{V_X - V_Y}{2V_{in1}} = -g_m(R_D \parallel r_o)$$



$$\lambda \neq 0 \Leftrightarrow r_o \neq \infty$$

考虑沟道长度调制
效应



任何输入可分解成差模信号分量+共模信号分量

$$V_{in1} = \frac{V_{in1} - V_{in2}}{2} + \frac{V_{in1} + V_{in2}}{2}$$

$$V_{in2} = -\frac{V_{in1} - V_{in2}}{2} + \frac{V_{in1} + V_{in2}}{2}$$

对所有 V_{in} 均成立

实际电路需要保证两边直流电压工作点一致，否则 g_m 失配

差动信号无直流分量，无论大小均视为变化量。

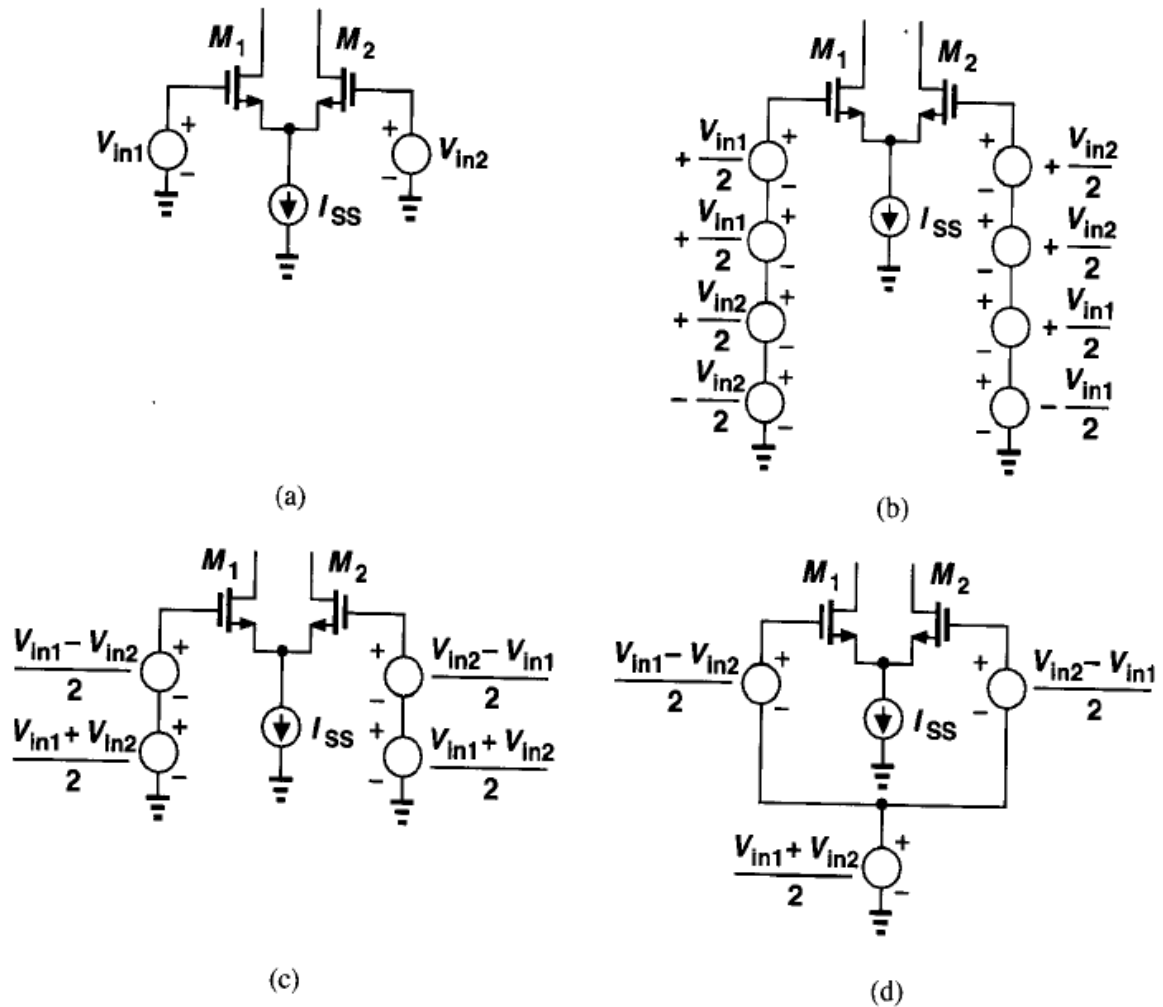


Figure 4.22 Conversion of arbitrary inputs to differential and common-mode components.



Example 4.5

In the circuit of Fig. 4.20(a), calculate V_X and V_Y if $V_{in1} \neq -V_{in2}$ and $\lambda \neq 0$.

- 差模小信号：图4.24(a)

$$V_X = -g_m(R_D \parallel r_o) \frac{V_{in1} - V_{in2}}{2}$$

$$V_Y = -g_m(R_D \parallel r_o) \frac{V_{in2} - V_{in1}}{2}$$

$$V_X - V_Y = -g_m(R_D \parallel r_o)(V_{in1} - V_{in2})$$

- 共模小信号（交变）：图4.24(b)

M1和M2的漏电流均为 $I_{ss}/2$ ， V_X 和 V_Y 不变。共模抑制！

实际电路中若 $V_{in,cm} = 1/2(V_{in1} + V_{in2})$ 上升，则 V_{GS} 和 V_P 均会上升， I_{ss} 稍微上升（沟道长度调制）。

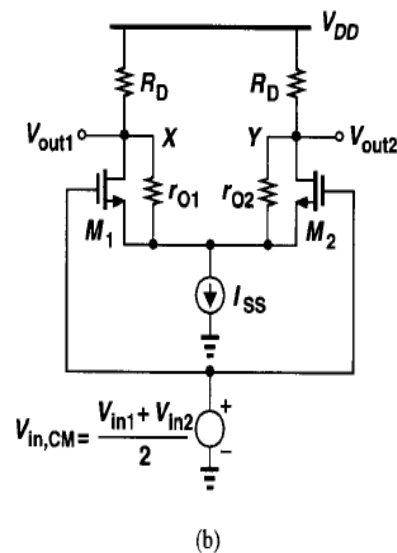
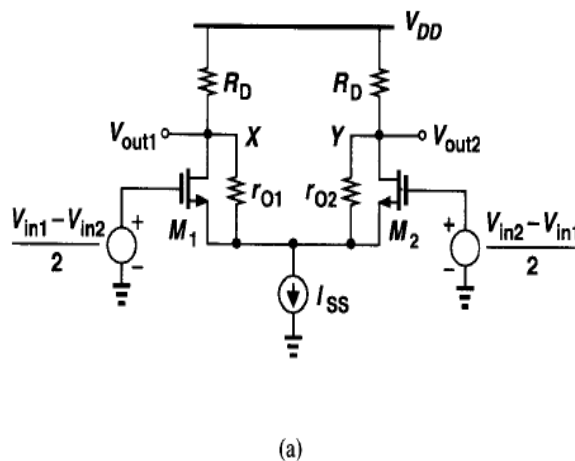
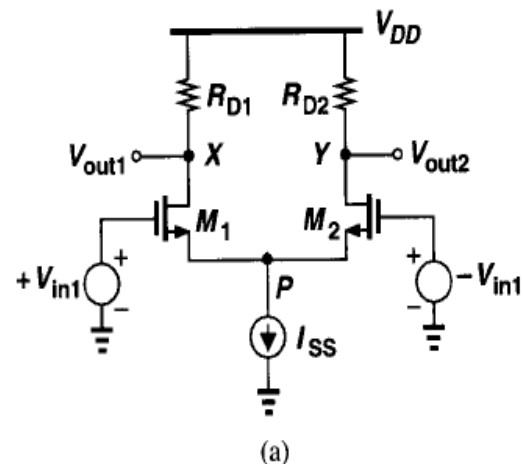


Figure 4.24



4.3 common mode response

- 差动放大器的重要特点是对共模噪声的抑制。
- 设电流源输出电阻 R_{SS} （理想值为无穷大）

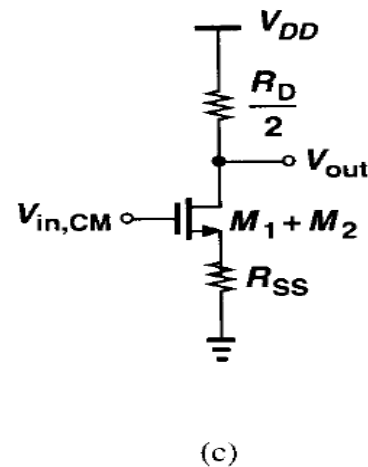
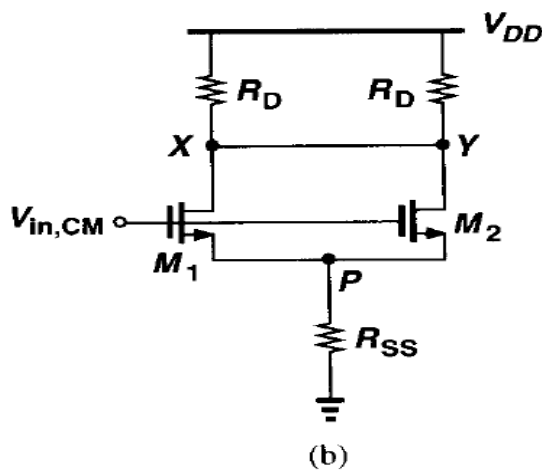
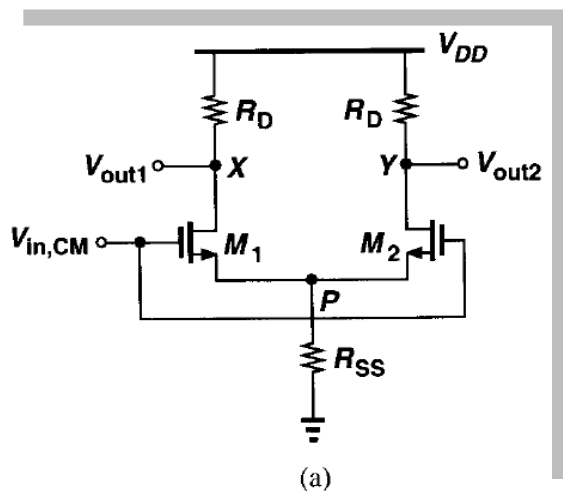


图4.25(a) 共模输入的差动对电路；图(a)的简化电路；图(b) 的等效电路(g_m 为单管的2倍)

$$A_{v,CM} = \frac{\partial V_{out}}{\partial V_{in,CM}} = - \frac{R_D/2}{\frac{1}{2g_m} + R_{SS}}, \text{ 式 (4.28)}$$

增大 R_{SS} , 减小 $A_{v,CM}$



Example 4.6

已知: $I_{SS} = 1\text{mA}$, $\left(\frac{W}{L}\right)_{1,2} = \frac{2.5}{0.5}$, $\mu_n C_{ox} = 50\mu\text{A}/\text{V}^2$,

$V_{TH} = 0.6\text{V}$, $\lambda = \gamma = 0$, $V_{DD} = 3.3\text{V}$

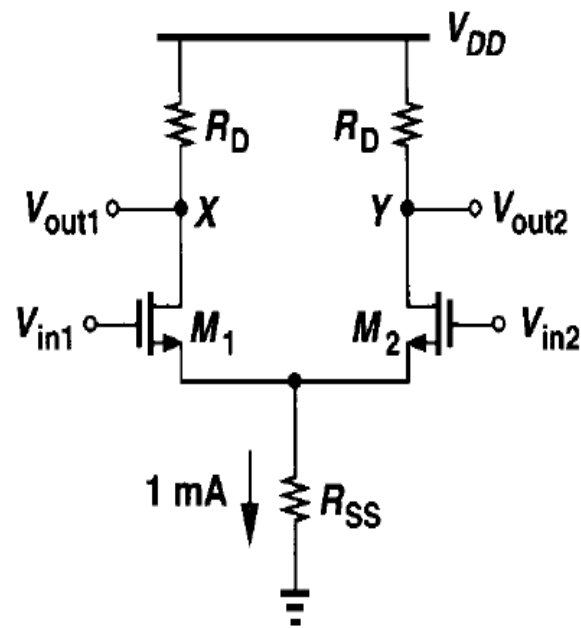
- $V_{R_{SS}} = 0.5\text{V}$, 输入共模电压应是多少?
- 差模增益=5时 $R_D = ?$
- 输出共模电平? 最低单端输出电平?
- 输入共模增加50mV, 输出变化多大?

解 (a) $V_{in,CM} = V_{GS} + V_{R_{SS}}$

$$I_{D1} = I_{D2} = 0.5\text{mA}$$

$$V_{GS1} = V_{GS2} = \sqrt{\frac{2I_{D1}}{\mu_n C_{ox} \frac{W}{L}}} + V_{TH1} = 1.23\text{V}$$

$$V_{in,CM} = V_{GS} + V_{R_{SS}} = 1.23\text{V} + 0.5\text{V} = 1.73\text{V}$$



$$R_{SS} = \frac{0.5\text{V}}{1\text{mA}} = 500\Omega$$

设 $\lambda = \gamma = 0$



Example 4.6 (cont.)

(b): 已知 $|A_v| = \left| \frac{\Delta V_{out}}{\Delta V_{in}} \right| = \sqrt{\mu_n C_{ox} \frac{W}{L} I_{SS} R_D} = g_{m1} R_D = 5$

$$g_{m1} = \sqrt{2\mu_n C_{ox} \frac{W}{L} I_{D1}} = \sqrt{\mu_n C_{ox} \frac{W}{L} I_{SS}} = \frac{1}{632\Omega}$$

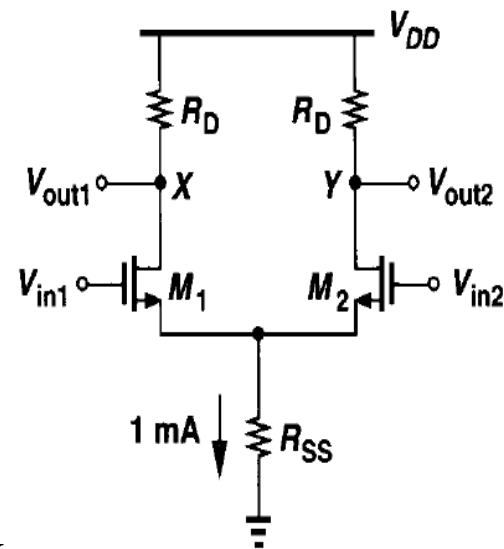
$$R_D = \frac{5}{g_m} = 3.16k\Omega \therefore$$

(c): 共模输出 $V_X = V_{DD} - I_{D1} R_D = 3V - 0.5 * 3.16V = 1.42V$

$$V_{in1} - V_{TH1} \leq V_X$$

$$V_{X \min} = V_{in,CM} - V_{TH} = 1.73V - 0.6V = 1.13V$$

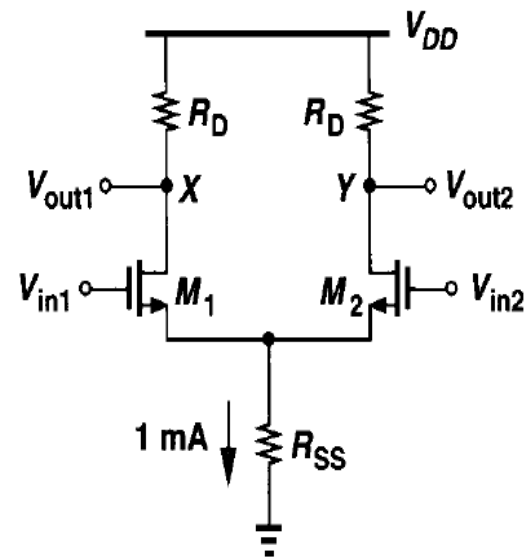
若输出电压减小 $1.42 - 1.13 = 0.29V$ 晶体管就会进入线性区, R_D 不可较大。





Example 4.6 (cont.)

$$(d) : \Delta V_{o,CM} = A_{v,CM} \Delta V_{in,CM} = - \frac{R_D/2}{\frac{1}{2g_m} + R_{SS}} \Delta V_{in,CM}$$
$$= - \frac{3160/2}{632/2 + 500} \times 50mV = -96.8mV$$



结果表明该结构不好，共模抑制差。

原因是 R_{SS} 阻值太小（电流随输入电平变化）。



差分电路的问题：失配！

差分电路要求电路严格对称！

$$\text{小信号 } A_{v,CM} = \frac{\partial V_{out}}{\partial V_{in,CM}} = - \frac{R_D/2}{\frac{1}{2g_m} + R_{SS}}$$

设负载失配 ΔR_D :

$$\Delta V_X \approx - \frac{R_D}{\frac{1}{g_m} + R_{SS}} \Delta V_{in,CM} \quad \Delta V_Y \approx - \frac{R_D + \Delta R_D}{\frac{1}{g_m} + R_{SS}} \Delta V_{in,CM}$$

导致共模输入产生差动输出，共模噪声对输出影响很大。

总结：差动电路的共模响应取决于尾电流源和电路非对称性。
失配导致输入共模信号在输出端产生差模分量。

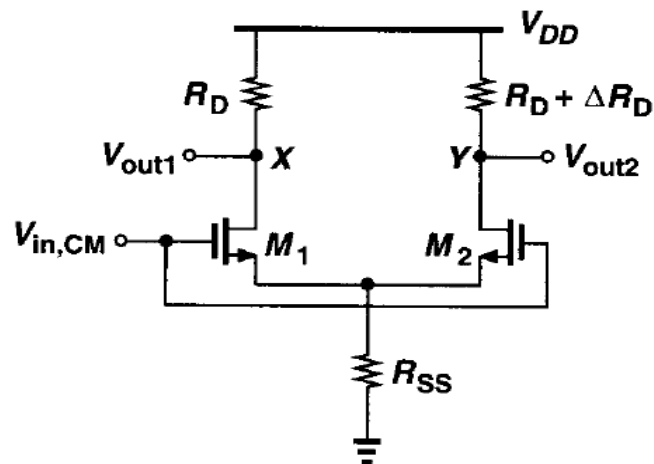


Figure 4.27 Common-mode response in the presence of resistor mismatch.

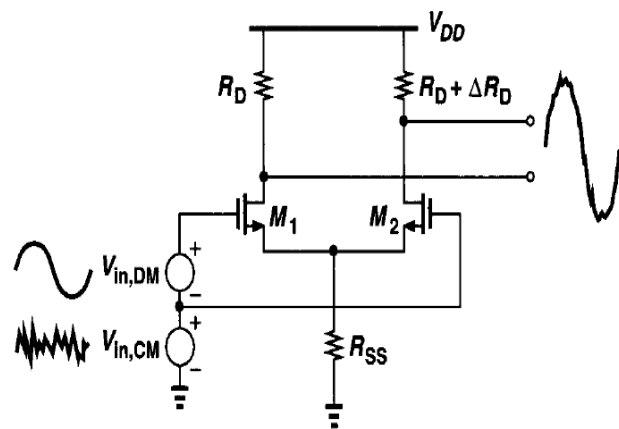
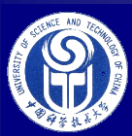
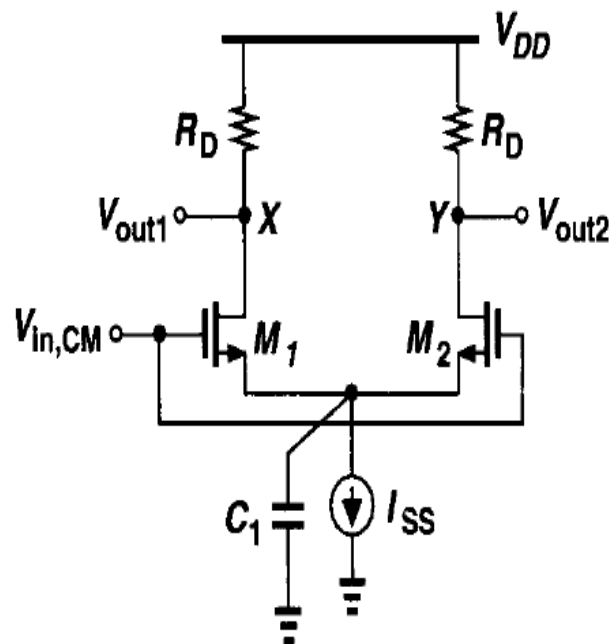


Figure 4.28 Effect of CM noise in the presence of resistor mismatch.



失配导致共模噪声转换为差模噪声“信号”

实际差分电路的不对称性产生失配，主要来自输入晶体管，工艺误差造成的阈值电压和尺寸（包括版图不平衡）不一致，体现为 g_m 不同、电流不同。



差动结构缺点：对工艺质量（失配）敏感，功耗稍大，版图要求对称。



共模输入噪声影响：输入管不匹配情况讨论

交变小信号

$$I_{D1} = g_{m1}(V_{in,CM} - V_P) \quad I_{D2} = g_{m2}(V_{in,CM} - V_P)$$

$$V_P = (I_{D1} + I_{D2})R_{SS} = (g_{m1} + g_{m2})(V_{in,CM} - V_P)R_{SS}$$

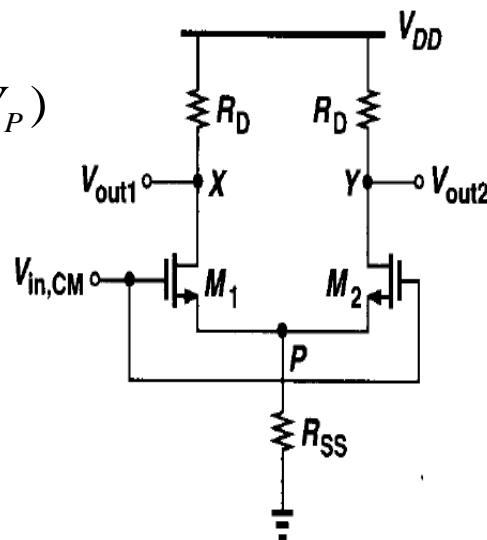
$$\therefore V_P = \frac{(g_{m1} + g_{m2})R_{SS}}{(g_{m1} + g_{m2})R_{SS} + 1} V_{in,CM}$$

$$V_X = -I_{D1}R_D = -g_{m1}(V_{in,CM} - V_P)R_D$$

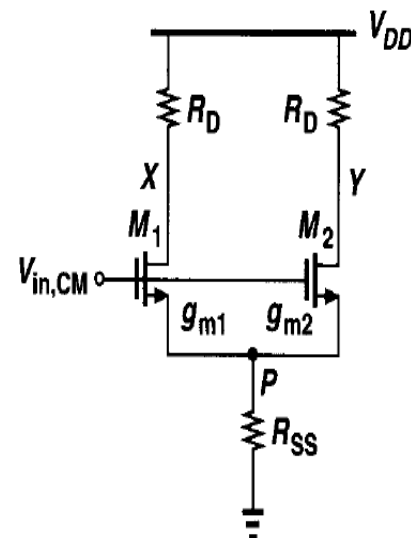
$$= -g_{m1} \frac{1}{(g_{m1} + g_{m2})R_{SS} + 1} V_{in,CM} R_D$$

$$V_Y = -I_{D2}R_D = -g_{m2}(V_{in,CM} - V_P)R_D$$

$$= -g_{m2} \frac{1}{(g_{m1} + g_{m2})R_{SS} + 1} V_{in,CM} R_D$$



(a)



(b)

Figure 4.30 (a) Differential pair sensing CM input, (b) equivalent circuit of (a).

由失配产生的差动输出： $V_X - V_Y = -\frac{g_{m1} - g_{m2}}{(g_{m1} + g_{m2})R_{SS} + 1} V_{in,CM} R_D$

应当极小

共模噪声转化成
差动小信号误差：

$$A_{CM-DM} = \frac{V_X - V_Y}{V_{in,CM}} = -\frac{g_{m1} - g_{m2}}{(g_{m1} + g_{m2})R_{SS} + 1} R_D = -\frac{\Delta g_m}{(g_{m1} + g_{m2})R_{SS} + 1} R_D, \text{ 式 (4.43)}$$



Figure 4.31

$$A_{\text{CM-DM}} = \frac{V_X - V_Y}{V_{in,CM}} = - \frac{\Delta g_m}{(g_{m3} + g_{m4}) \frac{1}{j\omega C_p} + 1} R_D \quad \rightarrow \quad |A_{\text{CM-DM}}| = \frac{\Delta g_m}{\sqrt{(g_{m3} + g_{m4})^2 \left| \frac{1}{\omega C_p} \right|^2 + 1}} R_D$$



共模抑制比 Common-mode rejection ratio

$$\text{CMRR} = \left| \frac{A_{\text{DM}}}{A_{\text{CM-DM}}} \right| \quad \text{注意区别} \quad \left| \frac{A_{\text{DM}}}{A_{\text{CM}}} \right|$$

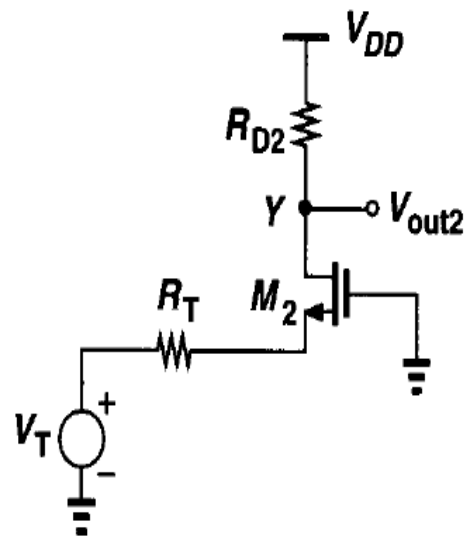
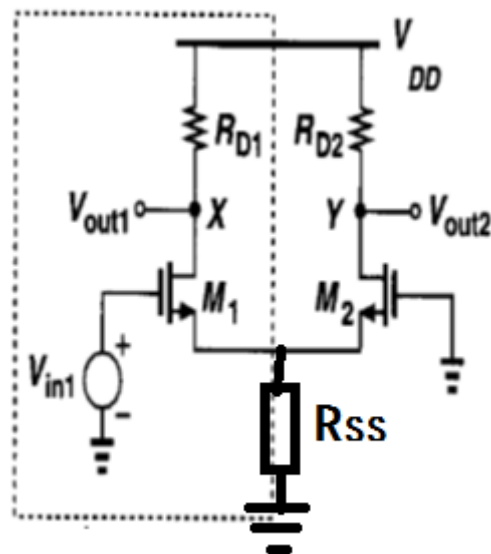
设MOS失配: $g_{m1} \neq g_{m2}$, I_{SS} 的 $R_{SS} \neq \infty$

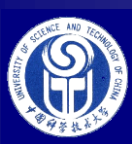
- 参考图4.15采用叠加定律
(失配时半边电路分析不成立)

$$\text{令 } V_{in2} = 0, \quad \frac{V_X}{V_{in1}} = - \frac{R_D}{\frac{1}{g_{m1}} + \frac{1}{g_{m2}} \parallel R_{SS}}$$

$$R_T = \frac{1}{g_{m1}} \parallel R_{SS} = \frac{\frac{1}{g_{m1}} R_{SS}}{\frac{1}{g_{m1}} + R_{SS}} = \frac{R_{SS}}{1 + g_{m1} R_{SS}}$$

$$V_T = V_{in} g_{m1} \left(\frac{1}{g_{m1}} \parallel R_{SS} \right) = V_{in} \frac{g_{m1} R_{SS}}{1 + g_{m1} R_{SS}}$$





Common-mode rejection ratio (cont.)

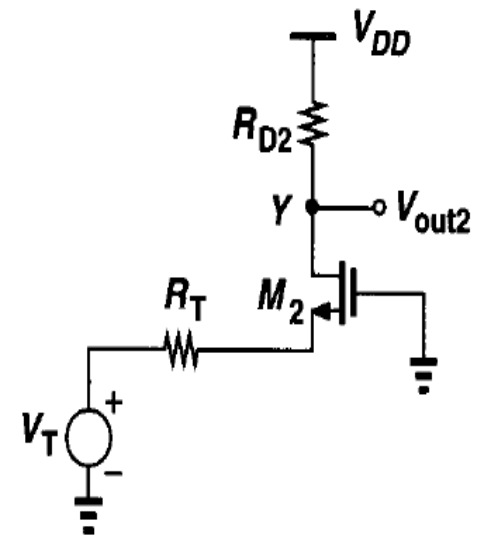
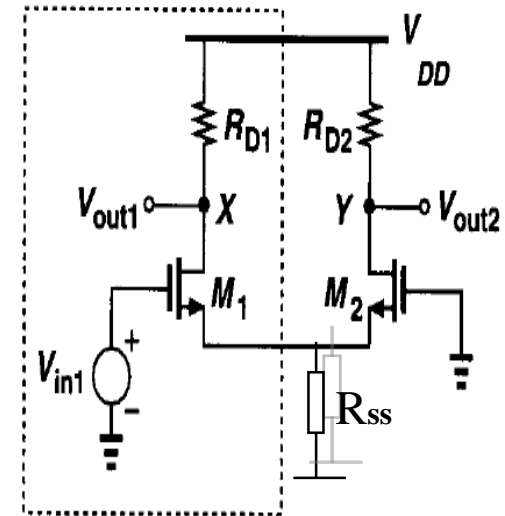
• 由共栅级增益公式:
$$\frac{V_{out2}}{V_T} = \frac{R_{D2}}{\frac{1}{g_{m2}} + R_T}$$

得
$$\frac{V_y}{V_{in1}} = \frac{V_y}{V_T} \frac{V_T}{V_{in1}} = \frac{R_D}{R_T + \frac{1}{g_{m2}}} * \frac{g_{m1} R_{SS}}{1 + g_{m1} R_{SS}} = \frac{R_D}{\frac{1}{g_{m1}} \parallel R_{SS} + \frac{1}{g_{m2}}} * \frac{g_{m1} R_{SS}}{1 + g_{m1} R_{SS}}$$

$$(V_X - V_Y)_{Vin1} = \left(\frac{-R_D}{\frac{1}{g_{m1}} + \frac{1}{g_{m2}} \parallel R_{SS}} - \frac{R_D}{\frac{1}{g_{m1}} \parallel R_{SS} + \frac{1}{g_{m2}}} * \frac{g_{m1} R_{SS}}{1 + g_{m1} R_{SS}} \right) V_{in1}$$

同理
$$(V_X - V_Y)_{Vin2} = \left(\frac{R_D}{\frac{1}{g_{m1}} + \frac{1}{g_{m2}} \parallel R_{SS}} * \frac{g_{m2} R_{SS}}{1 + g_{m2} R_{SS}} + \frac{R_D}{\frac{1}{g_{m1}} \parallel R_{SS} + \frac{1}{g_{m2}}} \right) V_{in2}$$

$$\begin{aligned} V_{in1} &= -V_{in2} \\ A_{DM} &= \frac{(V_X - V_Y)_{tot}}{V_{in1} - V_{in2}} = \frac{(V_X - V_Y)_{in1} + (V_X - V_Y)_{in2}}{V_{in1} - V_{in2}} \\ &= -\frac{R_D}{2} \frac{g_{m1} + g_{m2} + 4g_{m1}g_{m2}R_{SS}}{1 + (g_{m1} + g_{m2})R_{SS}} \end{aligned} \quad (4.46)$$





CMRR (cont.)

$$\text{当 } g_{m1} = g_{m2} = g_m$$

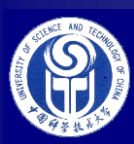
$$A_{\text{DM}} = -g_m R_D$$

即得(4.19)

$$\frac{(V_X - V_Y)_{\text{tot}}}{V_{\text{in1}} - V_{\text{in2}}} = -g_m R_D$$

$$\text{当 } g_{m1} \neq g_{m2}$$

$$\begin{aligned} \text{CMRR} &= \left| \frac{A_{\text{DM}}}{A_{\text{CM-DM}}} \right| = \left| \frac{-\frac{R_D}{2} \frac{g_{m1} + g_{m2} + 4g_{m1}g_{m2}R_{SS}}{1 + (g_{m1} + g_{m2})R_{SS}}}{-\frac{\Delta g_m}{(g_{m1} + g_{m2})R_{SS} + 1} R_D} \right| \\ &= \left| \frac{g_{m1} + g_{m2} + 4g_{m1}g_{m2}R_{SS}}{2\Delta g_m} \right| \end{aligned}$$

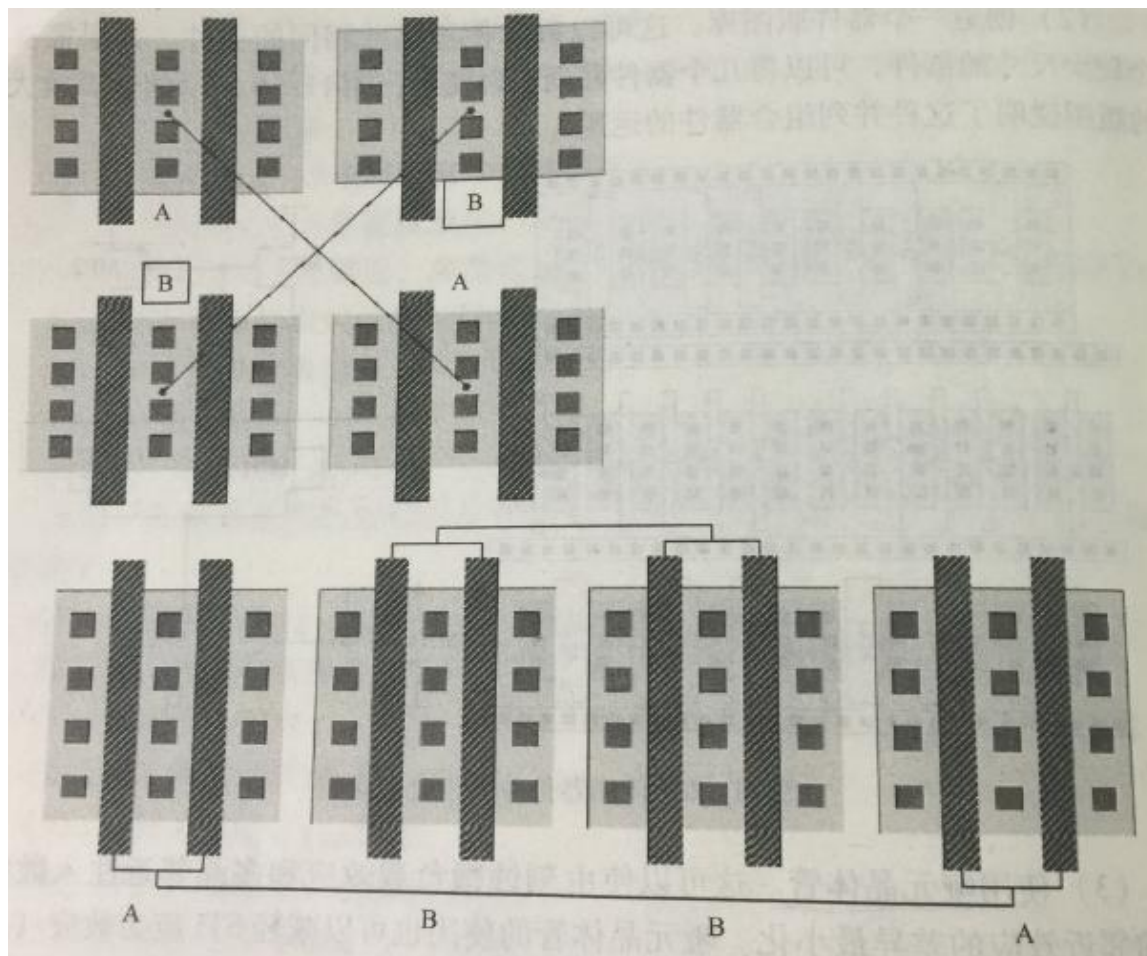


版图设计：质心法（对称）

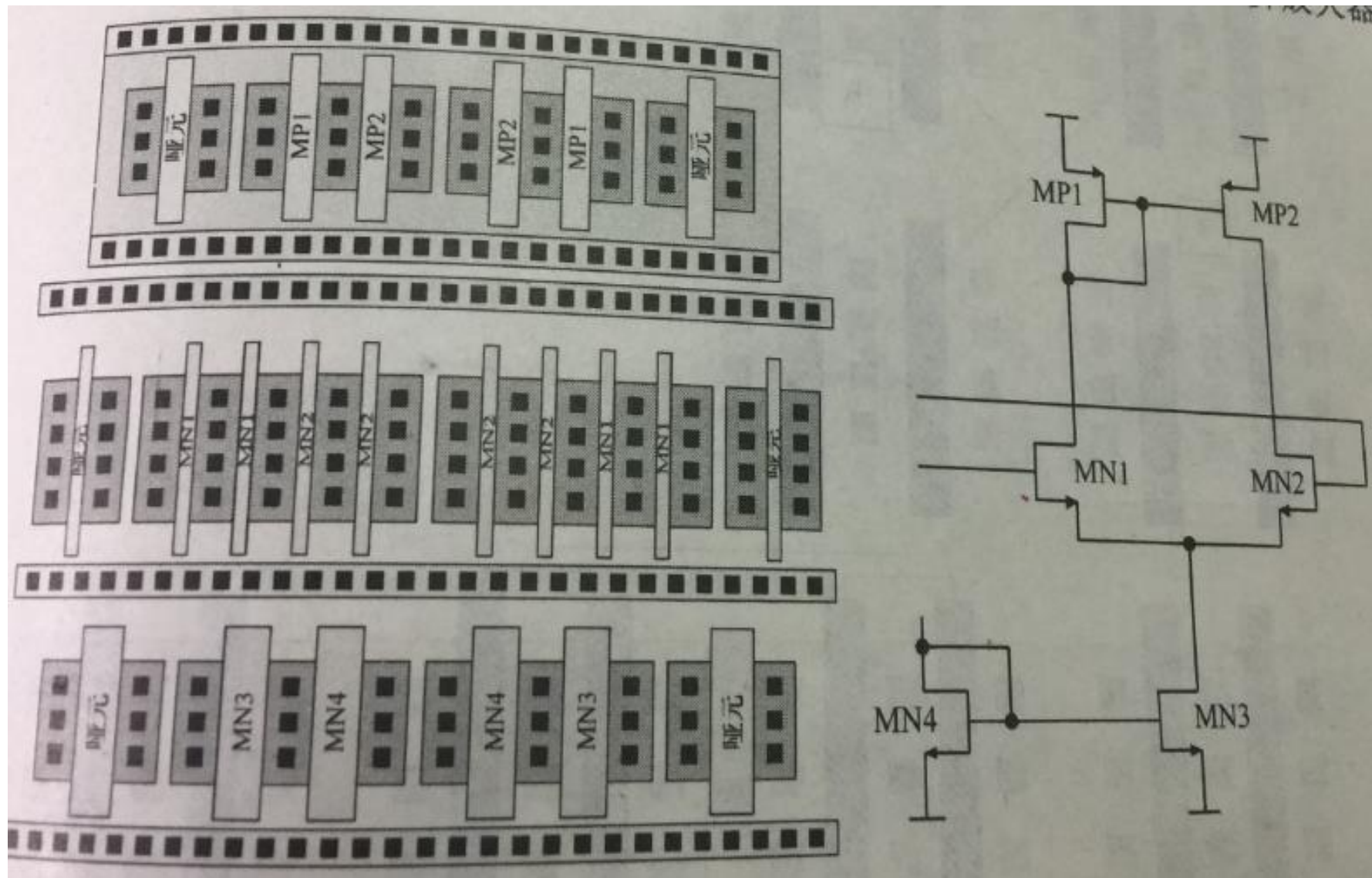
- 质心法布局W/L大的MOS

交叉
对角

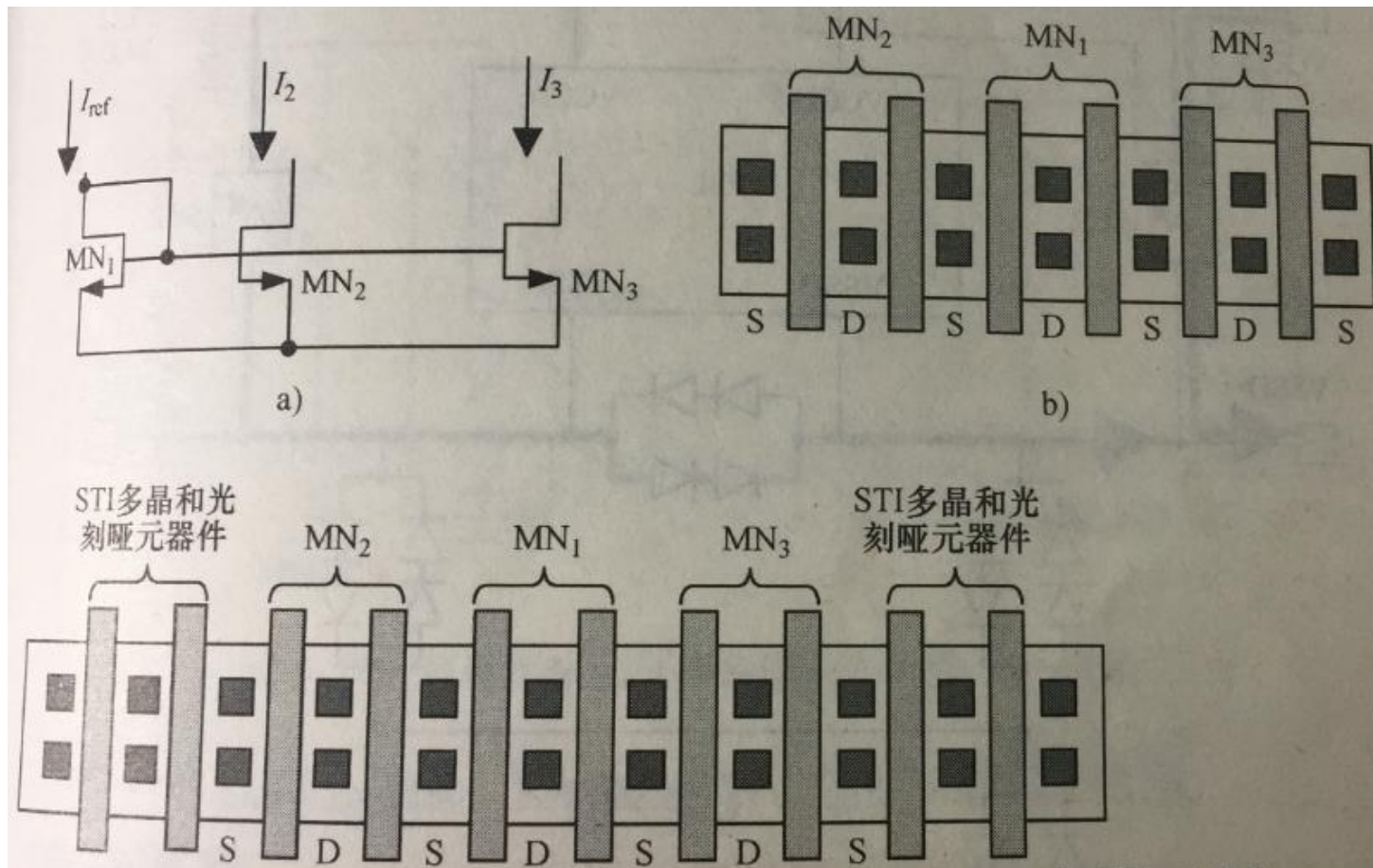
分割
对称

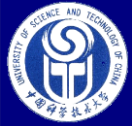


哑元器件（改善临近注入效应）

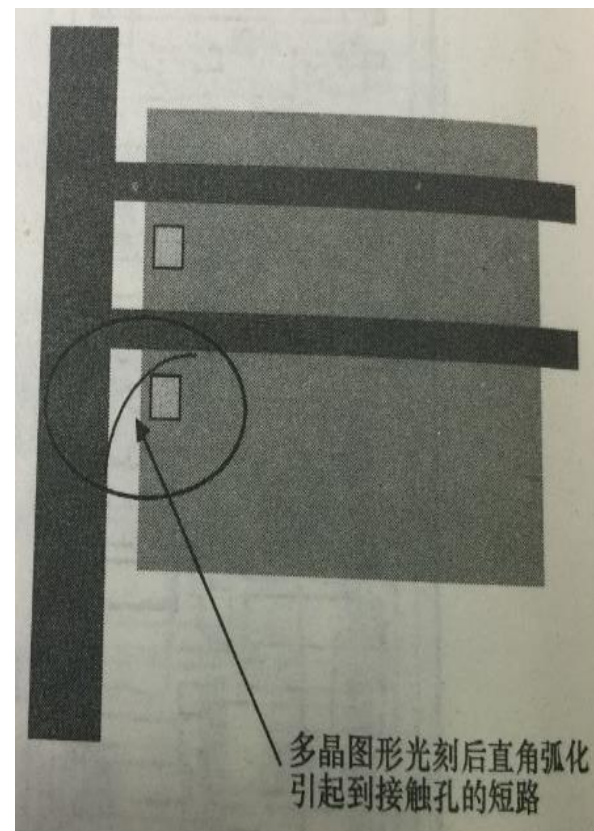
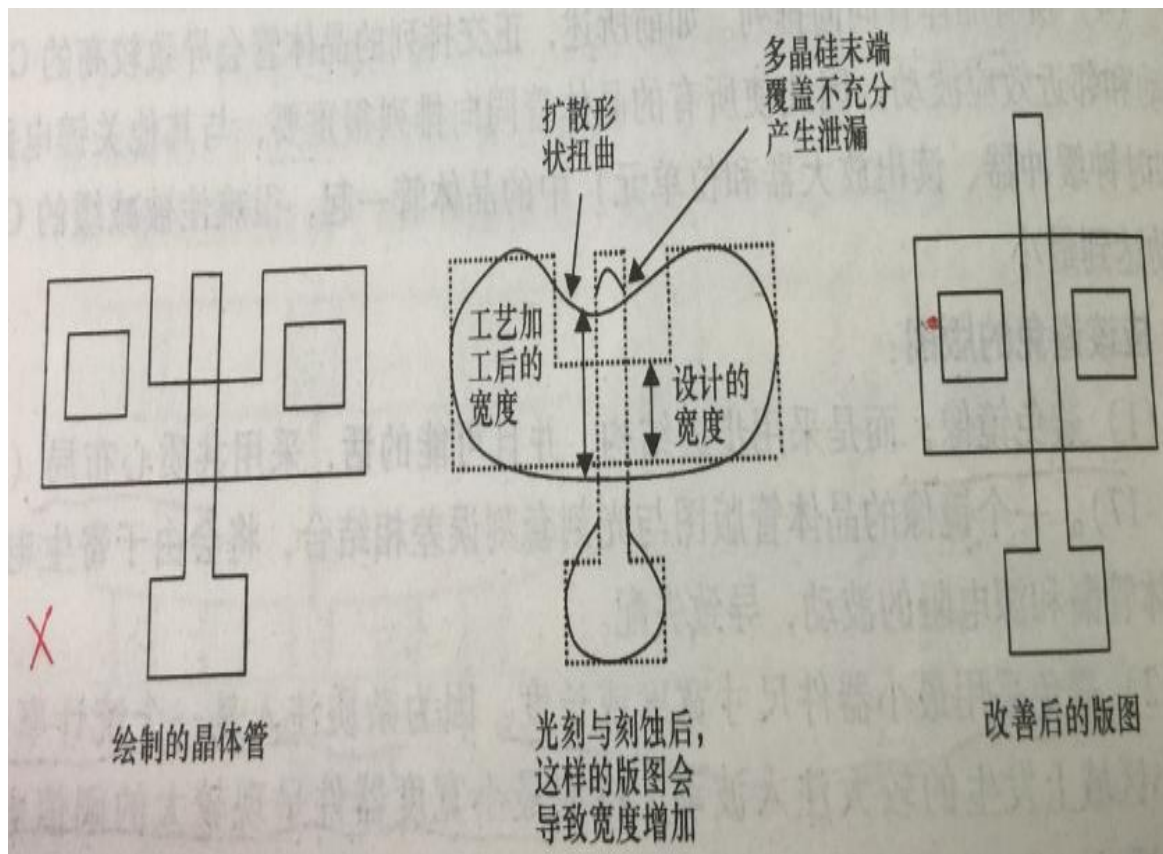


例：镜像电流源



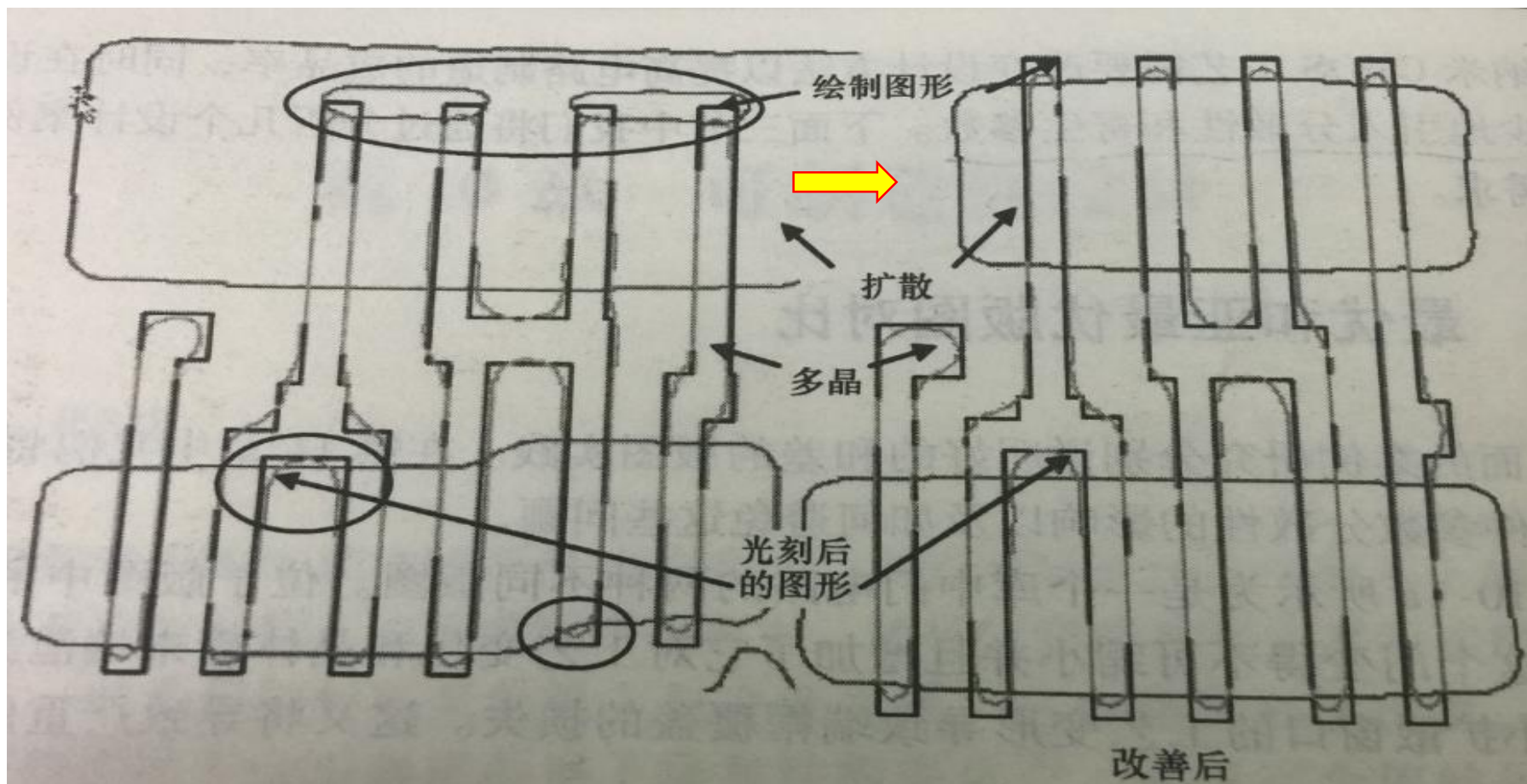


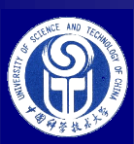
应避免的版图画法



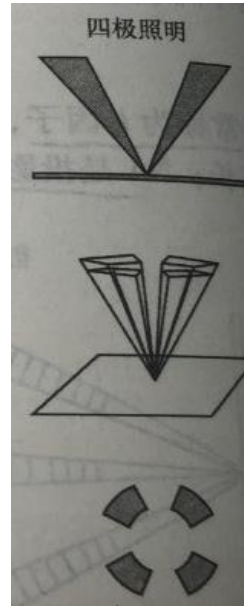
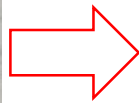
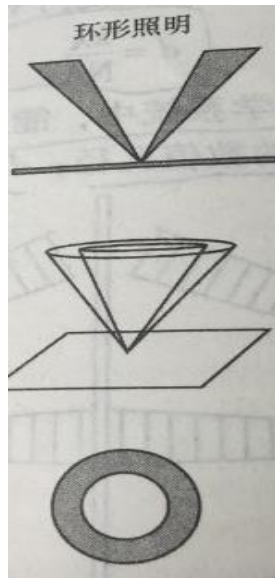
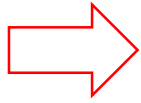
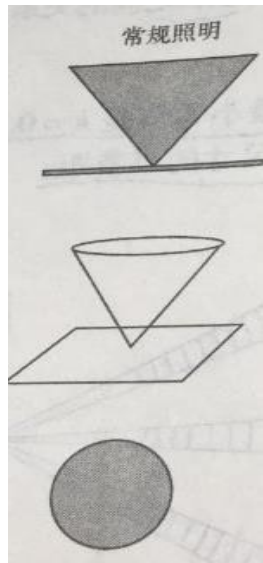


版图改善：例



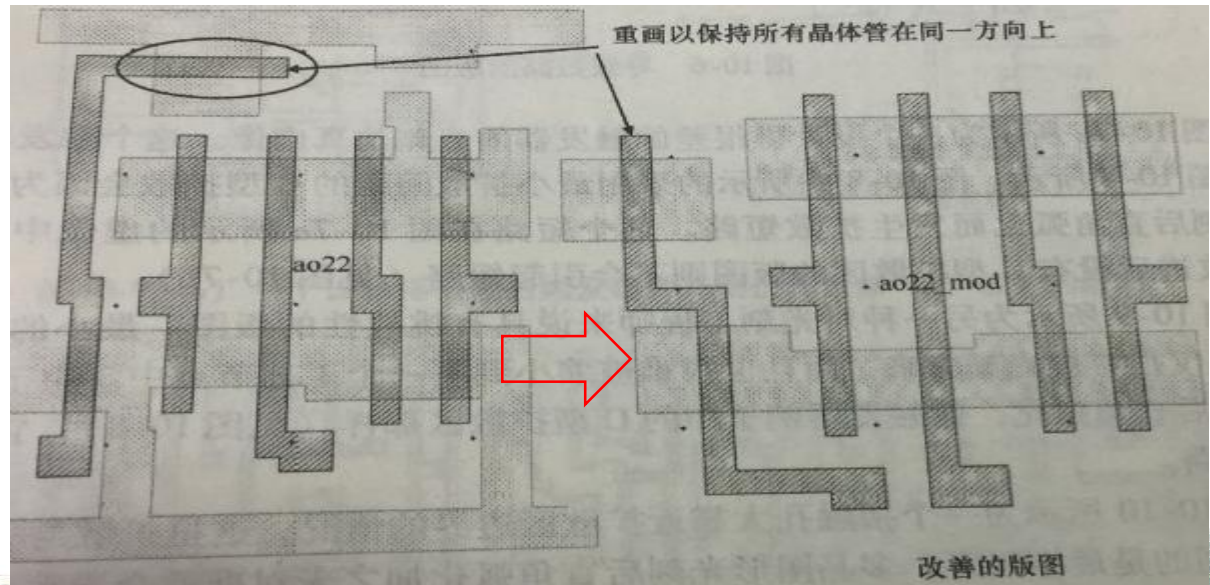


四极照明：100nm工艺光学分辨率增强



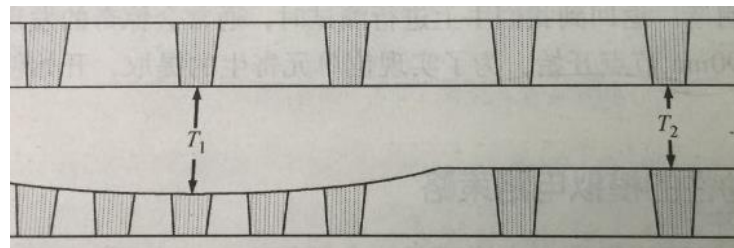
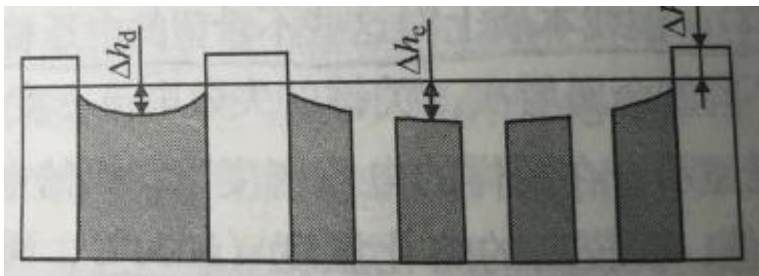
消除对图形形成没有贡献的光线，增加对比度

四极照明要求MOS版图摆放方向一致





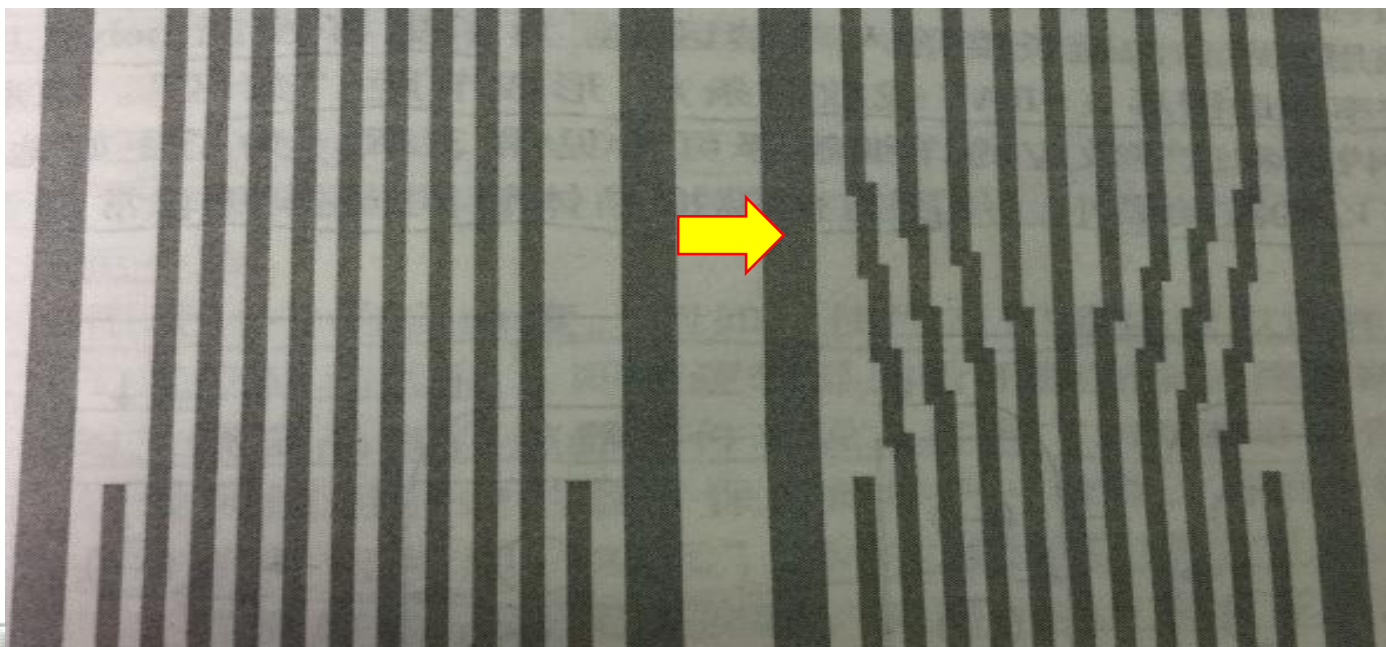
铜工艺 (0.13um工艺后)金属层连线



化学机械抛光CMP后铜厚度损失

版图改进

最优线宽
3~5um





4.4 MOS为负载的差动对

- 差动增益可用半边电路（参考图3.12和式3.42）

$$A_{DM} = -g_{mN} \left(\frac{1}{g_{mP}} \parallel r_{oP} \parallel r_{oN} \right) \approx -\frac{g_{mN}}{g_{mP}}$$

$$g_{m1} = \sqrt{2\mu_n C_{ox} \frac{W}{L} I_{D1}}$$

- 平衡点附近
$$A_{DM} \approx -\frac{g_{mN}}{g_{mP}} = \sqrt{\frac{\mu_{n ox} \left(\frac{W}{L} \right)_N}{\mu_n \left(\frac{W}{L} \right)_P}} \quad (4.51)$$

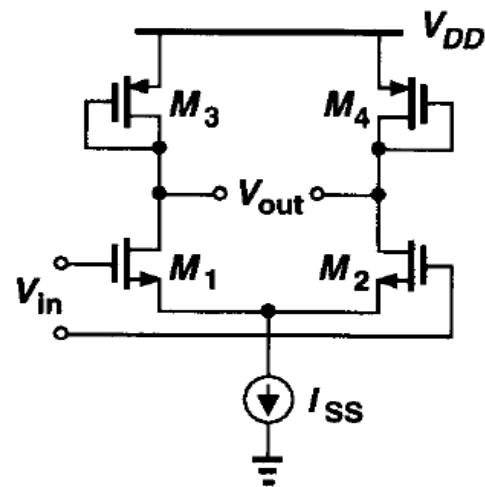


图4.32(a)以二极管为负载的差动对

注意增益方向：输入输出同侧为-，异侧为+

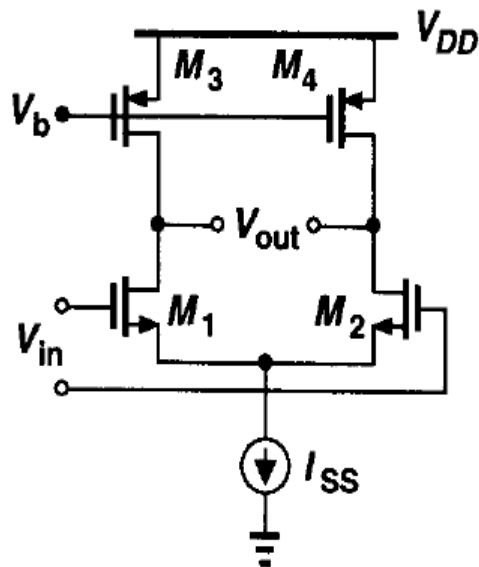
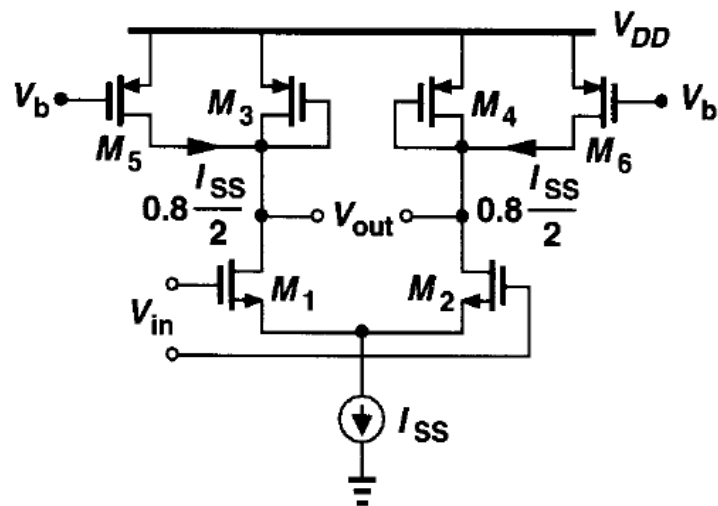
- 二极管负载减少了输出电压余度。
- 要增大增益，需减小 $(W/L)_p$ ，从而 $|V_{GSP} - V_{THP}|$ 增大，X和Y点允许的共模电平下降。



MOS为负载的差动对

Figure 4.33 Addition of current sources to increase the voltage gain.

采用减少电流而不是减少宽度的方法减小负载PMOS的 g_m , 见 (式4.51)



由式 (3.43)

$$A_{DM} = -g_{mN}(r_{oP} \parallel r_{oN})$$

图4.32(B)电流源负载差动对

以电流源为负载的差动对的小信号增益

$$A_{DM} = -g_{mN}(r_{oP} \parallel r_{oN})$$

一般为几十，可用 cascode 增大增益（实质是增大输出阻抗, 注意后级的输入阻抗要大）。



采用cascode差动对提高增益

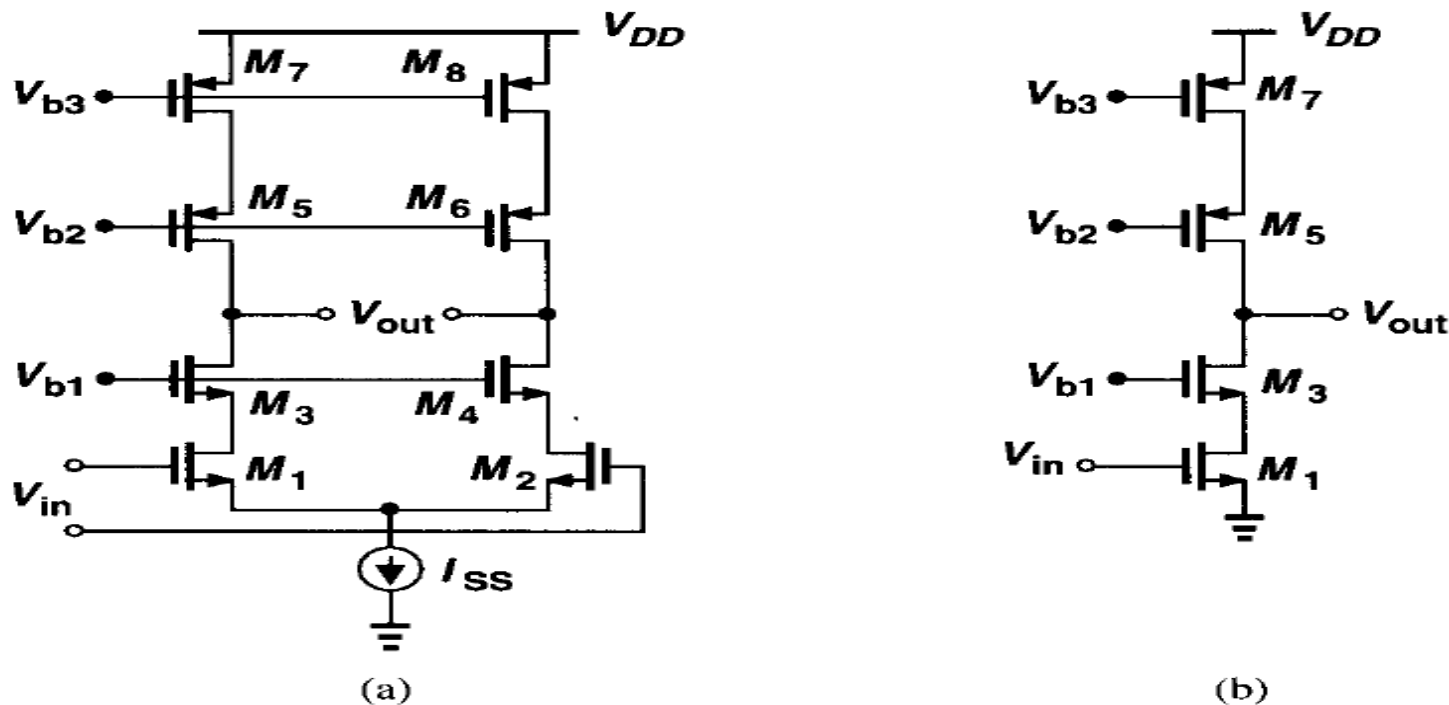
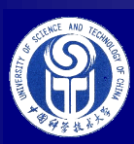


Figure 4.34 (a) Cascode differential pair, (b) half circuit of (a).

- 缺点是减少了输出电压余度，只适合小信号放大。
- 注意：电流源负载差动放大必须用某种方法确定输出共模电平；
- 二极管负载结构的图4.32(a)和图4.33输出共模电平是确定的，为

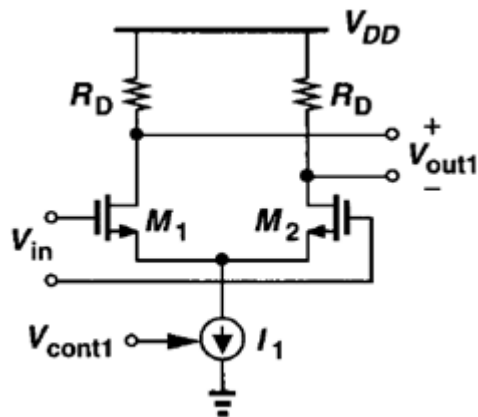
$$V_{DD} - V_{SGP}$$



吉尔伯特单元 Gilbert cell: 乘法器

$$\text{实现 } \Delta V_{out} = k \Delta V_{cont} \Delta V_{in} = k(V_{cont2} - V_{cont1}) \Delta V_{in}$$

考察



$$\text{小信号 } g_m = \sqrt{\mu C_{ox} \left(\frac{W}{L}\right)_1 I_1}$$

$$= \sqrt{\mu C_{ox} \left(\frac{W}{L}\right)_1 \times \frac{1}{2} \mu_n C_{ox} \left(\frac{W}{L}\right)_{cont1} (V_{cont1} - V_{TH})^2}$$

$$= \mu C_{ox} \sqrt{\frac{1}{2} \left(\frac{W}{L}\right)_1 \left(\frac{W}{L}\right)_{cont1} (V_{cont1} - V_{TH})}$$

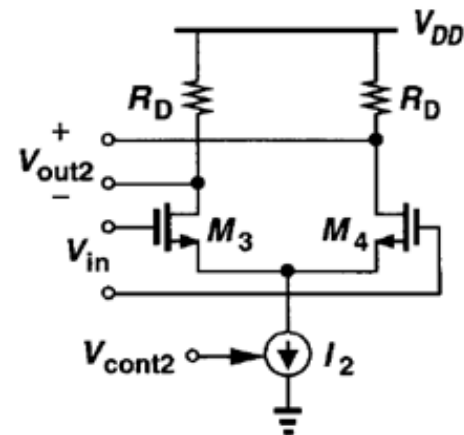
小信号增益是尾电流的函数，
Vcont控制尾电流

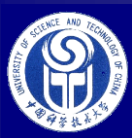
$$A_1 = -g_m R_D = -k(V_{cont1} - V_{TH})$$

$$\Delta V_{out} = k(V_{cont2} - V_{cont1}) \Delta V_{in}$$

$$= k(V_{cont2} - V_{TH} - V_{cont1} + V_{TH}) \Delta V_{in}$$

$$= -k(V_{cont1} - V_{TH}) \Delta V_{in} + k(V_{cont2} - V_{TH}) \Delta V_{in}$$





Gilbert cell: 电路演变

$$\begin{aligned} \text{如何实现 } \Delta V_{out} &= k(V_{cont2} - V_{cont1})\Delta V_{in} \\ &= -k(V_{cont1} - V_{TH})\Delta V_{in} + k(V_{cont2} - V_{TH})\Delta V_{in} \end{aligned}$$

注意 V_{out2} 方向

差动输出 $V_{out} = V_{out1} + V_{out2}$

大信号分析:

$$\text{差动输出 } V_{out1} = [V_{DD} - R_D I_{D1}] - [V_{DD} - R_D I_{D2}]$$

$$= R_D (I_{D2} - I_{D1})$$

$$\text{差动输出 } V_{out2} = [V_{DD} - R_D I_{D4}] - [V_{DD} - R_D I_{D3}]$$

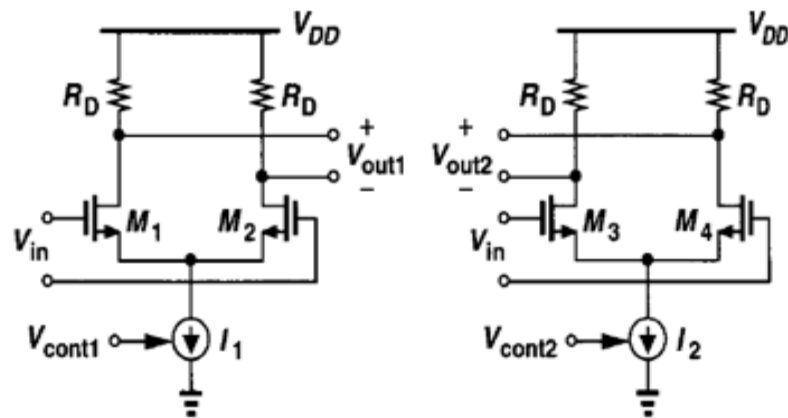
$$= R_D (I_{D3} - I_{D4})$$

$$V_{out} = V_{out1} + V_{out2} = R_D (I_{D2} - I_{D1}) + R_D (I_{D3} - I_{D4})$$

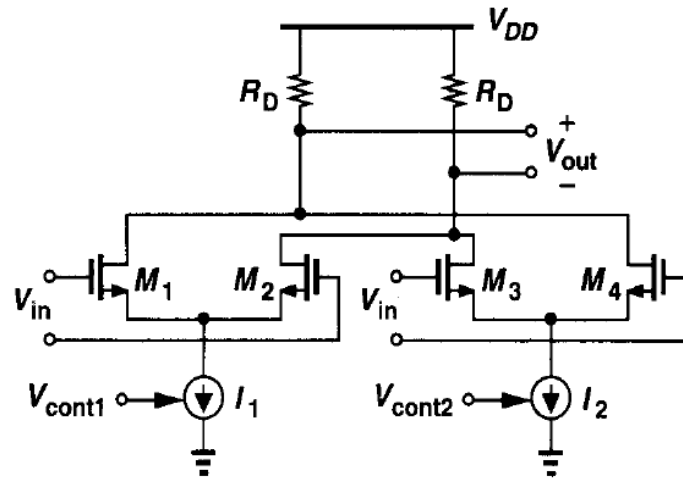
$$= R_D (I_{D2} + I_{D3}) - R_D (I_{D1} + I_{D4}), \text{ 如何实现?}$$

$$V_{out} = [V_{DD} - R_D (I_{D1} + I_{D4})] - [V_{DD} - R_D (I_{D2} + I_{D3})]$$

$$= R_D (I_{D2} - I_{D1}) + R_D (I_{D3} - I_{D4}) = V_{out1} + V_{out2}$$



V_{in} 相同, V_{out1} 和 V_{out2} 反相





Gilbert cell 电路结构

交变信号 $\Delta V_{out} = V_{out} = k (V_{cont2} - V_{cont1}) \Delta V_{in} = k \Delta V_{cont} \times \Delta V_{in}$

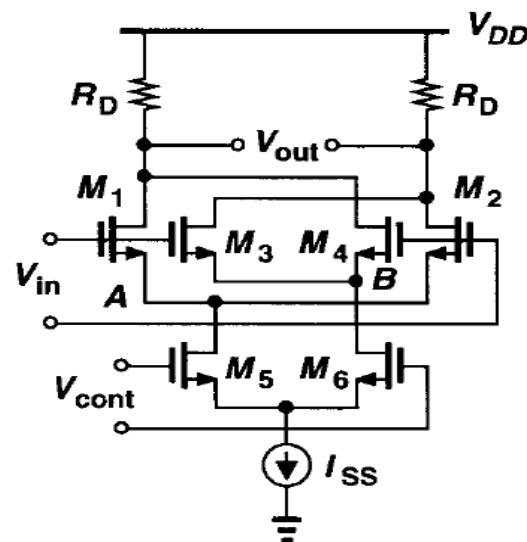
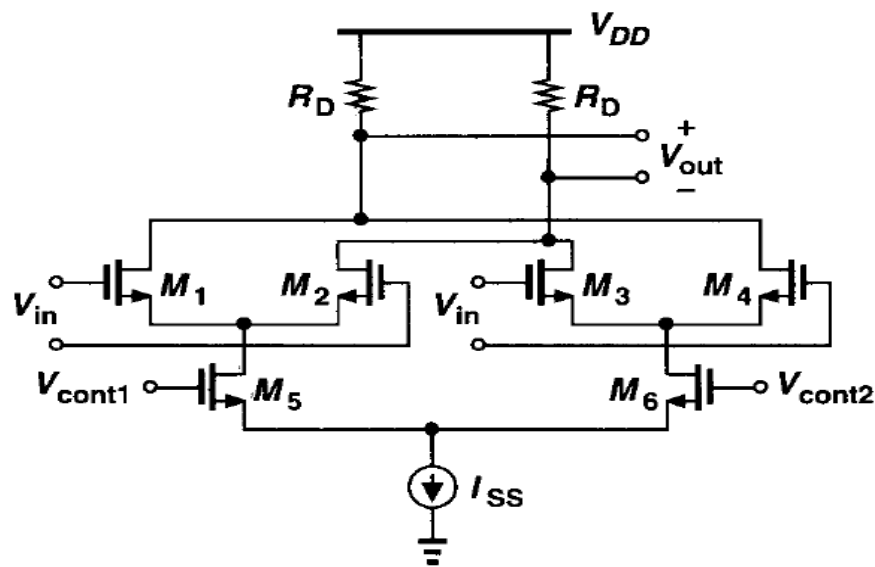


Figure 4.36 (c) use of M_5 - M_6 to control the gain, (d) Gilbert cell.

- 吉尔伯特单元 可作为乘法器和Mixer，什么信号之间隔离较好？
- 输入交变信号很大时，输出中含有其它非理想混频信号和杂散信号